

DMW Deutsche Medizinische Wochenschrift

Anschrift für Schriftleitung und Georg Thieme Verlag: 70469 Stuttgart, Rüdigerstraße 14

4 Med. 67 92

119

1994

943-7808

Schriftleitung:

Dr. med. habil. R. Augustin Stuttgart

Prof. Dr. W. Siegenthaler Zürich

Prof. Dr. J. F. Riemann Ludwigshafen

Prof. Dr. J. R. Siewert München

Prof. Dr. M. Rothmund Marburg

Prof. Dr. A. Sturm Herne/Bochum

Prof. Dr. P. C. Scriba München

Register für den 119. Jahrgang

2. Halbjahr 1994 Hefte 27-51/52



Georg Thieme Verlag Stuttgart · New York



Diejenigen Bezeichnungen, die zugleich eingetragene Warenzeichen sind, wurden *nicht* besonders kenntlich gemacht. Es kann also aus der Bezeichnung einer Ware mit dem für diese eingetragenen Warenzeichen nicht geschlossen werden, daß die Bezeichnung ein freier Warename ist. Ebenso wenig ist zu entnehmen, ob Patente oder Gebrauchsmuster vorliegen.

Alle Rechte, insbesondere das Recht der Vervielfältigung und Verbreitung sowie der Übersetzung, vorbehalten. Kein Teil des Werkes darf in irgendeiner Form (durch Photokopie, Mikrofilm oder ein anderes Verfahren) ohne schriftliche Genehmigung des Verlages reproduziert oder unter Verwendung elektronischer Systeme verarbeitet, vervielfältigt oder verbreitet werden.

Some of the product names, patents and registered designs referred to are in fact registered trademarks or proprietary names even though specific reference to this fact is not always made in the text. Therefore, the appearance of a name without designation as proprietary is not to be construed as a representation by the publisher that it is in the public domain.

All rights, including the rights of publication, distribution and sales, as well as the right to translation, are reserved. No part of this work covered by the copyrights hereon may be reproduced or copied in any form or by any means – graphic, electronic or mechanical including photocopying, recording, taping, or information and retrieval systems – without written permission of the publisher.

A							
Aborte; rezidivierende							
Autoimmune Progesteron-dermatitis	1258	fr					
Abszeß							
Amöbenabszeß der Leber mit hepatobronchialer Fistel	1034	kas					
Lumbale Spondylodiszitis durch Salmonella enteritidis	1383	kas					
Primär kutane Nocardia-farcinica-Infektion nach Herztransplantation	1276	kas					
Primär kutane Nocardia-farcinica-Infektion nach Herztransplantation (Berichtigung)	1568						
Acetylcholin							
Gesteigerte vaskuläre Sensitivität auf Nitroglycerin bei Patienten mit Hypercholesterinämie und peripherer Endotheldysfunktion	1065	or					
Aciclovir							
Wirksamkeit von Aciclovir und Glucocorticoiden in der Behandlung des Herpes zoster und postzosterischer Neuralgien	1526	km					
Acidose							
Aktuelle Möglichkeiten des kontinentalen Harnblasenersatzes	1327	üb					
Ventilatorische Insuffizienz und hyperkapnische Kompensation infolge chronisch belasteter »Atempumpe«. Physiologie, Pathophysiologie und Therapie	1209	üb					
Adaptation							
Pathophysiologie der Myokarddurchblutung. Teil I: Adaptation an Myokardischämie (»hibernating«-Myokard)	1589	pp					
Adenom							
Farbdopplersonographisch gesteuerte perkutane Alkoholinstillation zur Therapie der funktionellen Schilddrüsenautonomie	1607	or					
Kanalikuläres Adenom	1623	mq					
Adenosintri-phosphat							
Adenosintri-phosphat (ATP) bei supraventrikulären Tachykardien im Neugeborenen- und Säuglingsalter	1351	kas					
Adipositas							
Elterliche Vernachlässigung in der Kindheit und Adipositas im frühen Erwachsenenalter	1103	km					
Adnexitis							
Aktuelle Epidemiologie, Diagnostik und Therapie der Urogenitaltuberkulose	1121	adt					
AFP							
(siehe Alpha-1-Fetoprotein)							
Afterloading-Bestrahlung							
Diagnostik und Therapie des Analkarzinoms	1701	adt					
Agranulozytose							
Therapie einer Clozapin-induzierten Agranulozytose mit granulozytenkolonie-stimulierendem Faktor	1467	kas					
Ajmalin-Test							
Klinische Bedeutung des Ajmalin-Tests in der nicht-invasiven Diagnostik bei Wolff-Parkinson-White-Syndrom	985	or					
Albendazol							
Gnathostomiasis nach Aufenthalt in Thailand	1618	kas					
Aldosteron-System							
Renin-Angiotensin-System und Blutdruckregulation	965	pp					
Alkohol							
Geschäftsfähigkeit bei hohem Blutalkoholspiegel	1602	fr					
Alkoholinstillation							
Farbdopplersonographisch gesteuerte perkutane Alkoholinstillation zur Therapie der funktionellen Schilddrüsenautonomie	1607	or					
Allergie; gegen Hymenopteregift							
Besteht bei einer Insektengift-Allergie immer die Indikation für eine Hyposensibilisierung?	1093	la					
Alloimmunthrombozytopenie; neonatale							
Neonatale Alloimmunthrombozytopenie	1512	üb					
Allopurinol							
Allopurinol	1045	as					
All-trans-Retinsäure							
Komplette Remission bei akuter Promyelozytenleukämie. Vorteile von all-trans-Retinsäure im Vergleich mit konventioneller Chemotherapie	1143	or					
Alpha-1-Fetoprotein							
Indikation zur Amniozentese bei über 35jährigen Schwangeren aufgrund von Serummarkern	1413	km					
1-alpha-Hydroxylase							
Vitamin D und Osteoporose. Pathogenese - Therapie	1479	üb					
Amenorrhoe; primäre							
Diagnose eines Ullrich-Turner-Syndroms im Rentengutachten	1115	kas					
Amniozentese							
Indikation zur Amniozentese bei über 35jährigen Schwangeren aufgrund von Serummarkern	1413	km					
Amöbiasis							
Amöbenabszeß der Leber mit hepatobronchialer Fistel	1034	kas					
ANA							
(siehe Antikörper; Antinukleäre)							
Analkarzinom							
Diagnostik und Therapie des Analkarzinoms	1701	adt					
Anämie							
Autoimmunprozesse als paraneoplastische Manifestationen bei familiärem Mammakarzinom	1194	kas					
Eisenmangelanämie	1403	pp					
Hämolytische Krise mit Leberversagen als Erstmanifestation eines Morbus Wilson	1421	kas					
Schwere Panzytopenie im hohen Lebensalter nach zwölfmonatiger ACE-Hemmer-Therapie	1029	kas					
Ancylostoma brasiliense							
Larva migrans cutanea (»creeping eruption«)	1505	mq					

* Adjektive, die gegen die Schreibregel mit großen Anfangsbuchstaben geschrieben wurden, sind Bestandteil von Abkürzungen oder Akronymen.

Rubrikenschlüssel

adt = Aktuelle Diagnostik und Therapie	fr = Fragen aus der Praxis	la = Leitartikel	or = Originalien
ar = Arztrecht	gt = Gedenktage	lz = Leser-Zuschriften	pp = Prinzip & Perspektive
as = Der Arzneistoff	kas = Kasuistiken	mg = Medizingeschichte	stp = Standpunkte
epi = Epikrise	km = Kleine Mitteilungen	mq = Mediquiz	üb = Übersichten
	kom = Kommentare	nk = Nekrologe	

Aneurysma			Schwere Panzytopenie im hohen Lebensalter nach zwölfmonatiger ACE-Hemmer-Therapie	1029	kas	Anti-Neutrophilen-Zytoplasma-Antikörper		
Aneurysmen beider Arteriae iliacae communes	1082	mq				Churg-Strauss-Syndrom oder chronische eosinophile Pneumonie?	1565	lz
Klinische Bedeutung und echokardiographischer Nachweis von Aneurysmen des Vorhofseptums	1205	adt	Angst			Einseitige diffuse Lungenbeteiligung bei Vaskulitis mit Anti-Neutrophilen-Zytoplasma-Antikörpern sowie Antikörpern gegen glomeruläre Basalmembranen	1071	kas
Subarachnoidalblutung	1322	mq	Erfassung von Angst und Depressivität in der medizinischen Routineversorgung	1283	adt			
Zerebraler ischämischer Insult. Wertigkeit der transösophagealen Echokardiographie in der Diagnostik kardialer Emboliequellen	1585	adt	Anosmie					
			Kallmann-Syndrom. Pathophysiologie und Klinik	1436	üb	Antioxidantien		
Angiitis			Antacida			Antioxidantien	1135	fr
(siehe Vaskulitis)			Therapie der gastroösophagealen Refluxkrankheit	1473	adt	Antiöstrogen		
Angina abdominalis			Anthelminthika			Östrogenantagonisten und Thromboseprophylaxe	1182	fr
Chronische mesenteriale Ischämie	979	or	Gnathostomiasis nach Aufenthalt in Thailand	1618	kas	Antistreptolysin		
Angina pectoris			Antiarrhythmika			Persistierende Antistreptolysin-Titer	1099	fr
Angina pectoris und normales Koronarangiogramm bei arterieller Hypertonie und linksventrikulärer Hypertrophie	1175	üb	Adenosintriphosphat (ATP) bei supraventrikulären Tachykardien im Neugeborenen- und Säuglingsalter	1351	kas	Antituberkulotika		
Die klinische Bedeutung der Konzentrationsbestimmung der Troponine	1013	la	Sotalol	1477	as	Aktuelle Epidemiologie, Diagnostik und Therapie der Urogenitaltuberkulose	1121	adt
Zentralnervöse Vermittlung der Angina pectoris	1604	km	Antibasalmembran-Antikörper			Unverträglichkeit der Tuberkulosetherapie bei AIDS	1728	kas
Angiodysplasie			Einseitige diffuse Lungenbeteiligung bei Vaskulitis mit Anti-Neutrophilen-Zytoplasma-Antikörpern sowie Antikörpern gegen glomeruläre Basalmembranen	1071	kas	Aortendissektion		
Endoskopische intraoperative Diagnostik einer blutenden Angiodysplasie im Jejunum beim Heyde-Syndrom	1603	lz	Anticholinergika			Akute Aortendissektion. Diagnose durch transthorakale Echokardiographie	1297	lz
Angiokeratoma corporis diffusum			Enzephalopathie nach Intoxikation mit einem Anticholinergikum	1803	lz	Aortenisthmusstenose		
Angiokeratoma corporis diffusum	1281	mq	Antigen; Prostataspezifisches			Postduktale Aortenisthmusstenose (Coarctatio aortae)	1548	mq
Angiologie			Prostatakarzinom	1054	lz	Aortenklappenstenose		
Pathologie der Pulmonalarterien bei Lungentumoren	1415	or	Antikoagulation			Operationsindikation bei asymptomatischer hochgradiger Aortenklappenstenose	1630	üb
Angioplastie			Einsatz von niedermolekularem Heparin zur Antikoagulation in der Schwangerschaft	1497	kas	APC		
Akuter Koronargefäßverschluss nach elektiver perkutaner transluminaler Koronarangioplastie. Inzidenz und Therapie bei 5000 konsekutiven Patienten	1023	or	Ist die »International Normalized Ratio (INR)« in der klinischen Praxis unentbehrlich?	1529	la	(siehe Protein C; aktiviertes)		
Retrograde Katheter-Rekanalisation langstreckiger Verschlüsse der Arteria femoralis superficialis	948	or	Operationsindikation bei asymptomatischer hochgradiger Aortenklappenstenose	1630	üb	APC-Resistenz		
Wiedereröffnung chronischer Koronararterienverschlüsse: Welche Faktoren beeinflussen den Erfolg?	1766	or	Orale Kontrazeption bei Protein-C-Mangel	1100	fr	Resistenz gegenüber aktiviertem Protein C	1680	km
Angiotensin-Converting-Enzym-Hemmer			Rupturgefahr bei Nierenzysten	1486	fr	Apnoe-Index		
Angiotensin-Converting-Enzym-Hemmer bei der Behandlung der diabetischen Nephropathie	1298	km	Zerebraler ischämischer Insult. Wertigkeit der transösophagealen Echokardiographie in der Diagnostik kardialer Emboliequellen	1585	adt	Morbidität und Letalität bei Schlafapnoe und nächtlichen Bradyarrhythmien	1187	or
Angiotensin-Converting-Enzym-Hemmer nach Herzinfarkt	1448	fr	Antikörper; Antinukleäre			Appendizitis		
GISSI III: Wirkung von Lisinopril und transdermaler Applikation von Nitroglycerin nach akutem Herzinfarkt	1804	km	Diagnostik und Bedeutung von antinukleären Antikörpern	1137	lz	Operation bei Verdacht auf Appendizitis und Perforation	1059	km
			Antimonpräparate			Arbeitsmedizin		
			Therapie kutaner und mukokutaner Leishmaniosen	1169	adt	Akzidentelle Nadelstichverletzung bei medizinischem Pflegepersonal	1563	fr
						Arcus lipoides corneae		
						Fischaugenkrankheit	1393	kas
						Areflexie		
						Intensivtherapie des Guillain-Barré-Syndroms	1248	üb
						Arginin		
						Gesteigerte vaskuläre Sensitivität auf Nitroglycerin bei Patienten mit Hypercholesterinämie und peripherer Endotheldysfunktion	1065	or

Arteria femoralis superficialis									
Retrograde Katheter-Rekanalisation langstreckiger Verschlüsse der Arteria femoralis superficialis	948	or							
Arteriitis									
Takayasu-Arteriitis	1801	fr							
Arteriosklerose									
Aneurysmen beider Arteriae iliacae communes	1082	mq							
Antioxidantien	1135	fr							
Carotidwandveränderungen bei jungen Typ-I-Diabetikern. Ultraschalldiagnostik der frühen Arteriosklerose	1225	or							
Chronische mesenteriale Ischämie	979	or							
Gesteigerte vaskuläre Sensitivität auf Nitroglycerin bei Patienten mit Hypercholesterinämie und peripherer Endotheldysfunktion	1065	or							
Retrograde Katheter-Rekanalisation langstreckiger Verschlüsse der Arteria femoralis superficialis	948	or							
Arthroskopie									
Baker-Zyste bei osteoartikulärer Tuberkulose des Kniegelenks	1579	kas							
Baker-Zyste bei osteoartikulärer Tuberkulose des Kniegelenks (Berichtigung)	1806								
Arztrecht									
Beschwerden gegenüber der Kassenärztlichen Vereinigung wegen unberechtigter Krankschreibung. Urteil des OLG Frankfurt a.M. vom 16. 12. 1993	1712	ar							
Durchführung von Routineoperationen ohne Beteiligung eines Facharztes. Urteil des OLG Düsseldorf vom 7.10.1993	1255	ar							
Führen der Zusätze »Schmerztherapie« und »Schmerzprechstunde« auf dem Praxisschild. Beschluß des Bundesverfassungsgerichtes vom 15.12.1993	1561	ar							
Liquidationsrecht des Chefarztes bei vorhersehbarer Verhinderung an der Leistungserbringung. Urteil des OLG Hamm vom 4.5.1994	1522	ar							
Rechtsprobleme bei der Forschung in Notfall- und Intensivmedizin	1796	ar							
Zu den Sorgfaltspflichten des auf Überweisung tätigen Arztes. Urteil des Bundesgerichtshofs vom 5.10.1993	1096	ar							
Asbest									
Asbest-induzierte Erkrankungen der Lunge und Pleura	1603	lz							
Ascorbinsäure (siehe Vitamin C)									
Aspergilliose; pulmonale									
Pulmonale Aspergilliose	1716	lz							
Asterixis									
Medikamentös ausgelöste Asterixis	1221	lz							
Asthma bronchiale									
Asthma bronchiale	974	fr							
Churg-Strauss-Syndrom oder chronische eosinophile Pneumonie?	1565	lz							
Regelmäßige Asthma-Therapie mit β -Sympathikomimetika	1020	km							
Asystolie									
Therapie bradykarder und tachykarder Rhythmusstörungen durch transösophageale Elektrostimulation des Herzens	1405	üb							
Aszites									
Diagnostik des Aszites	1509	adt							
Therapie des Aszites bei Lebererkrankungen	1549	adt							
Ateminsuffizienz									
»Bronchiolitis obliterans organizing pneumonia« mit akuter respiratorischer Insuffizienz	1312	kas							
Syringomyelie als seltene Ursache einer beatmungspflichtigen respiratorischen Insuffizienz	1771	kas							
Ventilatorische Insuffizienz und hyperkapnische Kompensation infolge chronisch belasteter »Atempumpe«. Physiologie, Pathophysiologie und Therapie	1209	üb							
Atmungsstörungen; schlafbezogene									
Morbidität und Letalität bei Schlafapnoe und nächtlichen Bradyarrhythmien	1187	or							
ATP (siehe Adenosintriphosphat)									
Augenspiegel									
Hermann von Helmholtz (1821-1894) – Militärarzt, Sinnesphysiologe und »Reichskanzler der deutschen Physik«. Zum 100. Todestag des universalen Arztes und Naturforschers	1215	mg							
Autoaggression									
Akutes myoglobinurisches Nierenversagen als Folge von autoaggressivem Verhalten bei Oligophrenie	994	kas							
Autoimmunkrankheiten									
Autoimmune Progesterondermatitis	1258	fr							
Autoimmunprozesse als paraneoplastische Manifestationen bei familiärem Mammakarzinom	1194	kas							
Fibromyalgie-Syndrom	1639	lz							
Intensivtherapie des Guillain-Barré-Syndroms	1248	üb							
Sekundäre Neoplasien nach Immunsuppression	1747	üb							
Automutilation (siehe Selbstverstümmelung)									
Autonomie; disseminierte (siehe Hyperthyreose)									
Autonomie; fokale									
Farbdopplersonographisch gesteuerte perkutane Alkoholinstillation zur Therapie der funktionellen Schilddrüsenautonomie	1607	or							
Autoperfusionskatheter									
Langzeitdilataion bei erfolgloser perkutaner transluminaler Koronarangioplastie	1458	or							
AZT (siehe Zidovudin)									
Azzopardi-Phänomen									
Das extrapulmonale Einzelne Karzinom – eine Rarität?	1591	üb							
Äquivalenz									
Problematik des Äquivalenzbegriffes bei der Therapie mit Glucocorticoiden. Ein Vergleich der klinischen Pharmakokinetik und Pharmakodynamik von Prednison und Methylprednison	1671	üb							
B									
Bactec-System									
Aktuelle Epidemiologie, Diagnostik und Therapie der Urogenitaltuberkulose	1121	adt							
Baker-Zysten									
Baker-Zyste	1040	mq							
Baker-Zyste bei osteoartikulärer Tuberkulose des Kniegelenks	1579	kas							
Baker-Zyste bei osteoartikulärer Tuberkulose des Kniegelenks (Berichtigung)	1806								

Rubrikenschlüssel

adt = Aktuelle Diagnostik und Therapie
 ar = Arztrecht
 as = Der Arzneistoff
 epi = Epikrise

fr = Fragen aus der Praxis
 gt = Gedenktage
 kas = Kasuistiken
 km = Kleine Mitteilungen
 kom = Kommentare

la = Leitartikel
 lz = Leser-Zuschriften
 mg = Medizingeschichte
 mq = Mediquiz
 nk = Nekrologe

or = Originalien
 pp = Prinzip & Perspektive
 stp = Standpunkte
 üb = Übersichten

BAL (siehe Lavage; bronchoalveoläre)							
Balkenmangel Agenesie des Corpus callosum (Balkenmangel)	1738	mq					
Ballondilatation; von Gefäßen (siehe Angioplastie)							
Ballondilatation; von Darmstenosen Endoskopische Ballondilatation symptomatischer Strikturen bei Morbus Crohn	1377	or					
Ballonkatheter; perfundierbarer Langzeitdilatation bei erfolgloser perkutaner transluminaler Koronarangioplastie	1458	or					
Batten-Krankheit Leere Vakuolen im Zytoplasma der Lymphozyten bei juveniler neuronaler Ceroidlipofuscinose (Spielmeier-Vogt-Krankheit, Batten-Krankheit)	1431	mq					
Beatmung; künstliche Ventilatorische Insuffizienz und hyperkapnische Kompensation infolge chronisch belasteter »Atempumpe«. Physiologie, Pathophysiologie und Therapie	1209	üb					
Belastungs-Elektrokardiographie Klinische und koronarangiographische Befunde bei Frauen mit Thoraxschmerzen	1337	km					
Berichtigungen Baker-Zyste bei osteoartikulärer Tuberkulose des Kniegelenks	1806						
Hypocalcämische Kardiomyopathie als Ursache einer schweren Linksherzinsuffizienz	1414						
Primär kutane Nocardia-farctica-Infektion nach Herztransplantation	1568						
Bernstein-Test Diagnostik der gastroösophagealen Refluxkrankheit	1433	adt					
Berufskrankheiten (siehe Arbeitsmedizin)							
Beta-HCG (siehe Choriongonadotropin; humanes)							
Beta-Rezeptorenblocker Beta-Rezeptorenblocker bei dilatativer Kardiomyopathie	1604	km					
Beta-Rezeptorenblocker als Notfallmaßnahme bei akutem Herzinfarkt?	1715	fr					
Sicca-Symptomatik unter systemischer Therapie mit Beta-Rezeptorenblockern	1783	adt					
Sotalol	1477	as					
Beta-Sympathikomimetika Regelmäßige Asthma-Therapie mit β -Sympathikomimetika	1020	km					
Bilharziose Schistosomiasis und Siegelringzellkarzinom der Ileo-zökalklappe	1058	lz					
Bioprothesen (siehe Herzklappenprothesen)							
Biopsie-Urease-Test Modifizierter ^{13}C -Atemtest in der Diagnostik der Helicobacter-pylori-Besiedlung der gastralen Mucosa	1569	or					
Björk-Shiley-Klappe (siehe Herzklappenprothesen)							
Bleivergiftung Bleiintoxikation durch Menige in Paprikapulver	1756	lz					
Blutdruckkrisen (siehe Krisen; hypertensive)							
Blutdruckregulation Renin-Angiotensin-System und Blutdruckregulation	965	pp					
Blutentnahme; Techniken Hautdesinfektion vor der Blutentnahme	1182	fr					
Blutprodukte Rationale Substitution mit Blut- und Blutbestandteilkonserven	1555	üb					
Blutspende »Look-back«-Studie der DRK-Blutspendedienste	1643	km					
Universal-Spenderblut	1019	lz					
Blutstillung; endoskopische Endoskopische Therapie der Ösophagusvarizenblutung	1443	kom					
Bluttransfusionen (siehe Hämotherapie)							
Blutung Neonatale Alloimmunthrombozytopenie	1512	üb					
Blutung; gastrointestinale Endoskopische intraoperative Diagnostik einer blutenden Angiodysplasie im Jejunum beim Heyde-Syndrom	1603	lz					
Exulceratio simplex Dieulafoy	1699	mq					
Lipom mit zentraler Ulzeration und Blutung	1547	mq					
Risikofaktoren für gastrointestinale Blutungen bei Patienten der Intensivstation	1337	km					
Blutungsneigung (siehe Diathese; hämorrhagische)							
Blutzucker selbstkontrolle Ambulante Versorgung von Diabetikern	1056	lz					
BMD (siehe Knochendichte)							
Borrelia burgdorferi Nachweis von Borrelia-burgdorferi-DNA in der Gelenkflüssigkeit bei Lyme-Arthritis	1451	km					
Bromocriptin Bromocriptin-induzierte Pleuropneumopathie	1543	kas					
Bronchialkarzinom Asbest-induzierte Erkrankungen der Lunge und Pleura	1603	lz					
Hyponatriämisches Koma	1139	lz					
Pathologie der Pulmonalarterien bei Lungentumoren	1415	or					
Bronchiektasen Zystische Fibrose	1259	lz					
Bronchiolitis Obliterans Organizing Pneumonia »Bronchiolitis obliterans organizing pneumonia« mit akuter respiratorischer Insuffizienz	1312	kas					
Bronchitis; eosinophile Churg-Strauss-Syndrom oder chronische eosinophile Pneumonie?	1565	lz					
Bypass-Operation; aortokoronare Akuter Koronargefäßverschluss nach elektiver perkutaner transluminaler Koronarangioplastie. Inzidenz und Therapie bei 5000 konsekutiven Patienten	1023	or					
C							
Calciumbilanz Vitamin D und Osteoporose. Pathogenese – Therapie	1479	üb					
Calciumstoffwechsel Einfluß einer niedrigdosierten Hydrochlorothiazidtherapie auf den Knochenmineralgehalt des axialen und peripheren Skeletts	1645	or					
Carotiswandveränderungen Carotiswandveränderungen bei jungen Typ-I-Diabetikern. Ultraschalldiagnostik der frühen Arteriosklerose	1225	or					
CD4-Lymphozytopenie; idiopathische Idiopathische CD4-Lymphozytopenie mit letaler Salmonella-typhimurium-Sepsis	956	kas					
Ceroidlipofuscinose Leere Vakuolen im Zytoplasma der Lymphozyten bei juveniler neuronaler Ceroidlipofuscinose (Spielmeier-Vogt-Krankheit, Batten-Krankheit)	1431	mq					

CFS (siehe Müdigkeitssyndrom; chronisches)									
C-13-Harnstoff-Atemtest Modifizierter ¹³ C-Atemtest in der Diagnostik der Helico- bacter-pylori-Besiedlung der gastralen Mucosa	1569	or							
Cheiropathie Carotiswandveränderungen bei jungen Typ-I-Diabeti- kern. Ultraschalldiagnostik der frühen Arteriosklerose	1225	or							
Chelatbildner Antioxidantien	1135	fr							
Chemotherapie Adjuvante Chemotherapie beim operierten Kolon- karzinom	1181	fr							
Adjuvante Chemotherapie nach kurativer Gastrektomie bei Magenkarzinom	1298	km							
Adjuvante Therapie bei kolo- rektalen Karzinomen	1663	adt							
Langzeitbeobachtung bei lymphoplasmazytoiden Immunozytomen	1487	lz							
Chinin Hohe Letalität von Tetanus- infektionen nach intra- muskulärer Injektion von Chinin	1681	km							
Chirurgie; minimal-invasive Derzeitiger Stellenwert der Laparoskopie in der onko- logischen Chirurgie	1518	kom							
Möglichkeiten der laparoskopischen Therapie innerer Hernien. Darstellung an drei Fällen	1199	kas							
Chirurgie; onkologische Derzeitiger Stellenwert der Laparoskopie in der onko- logischen Chirurgie	1518	kom							
Chlamydien Enteropathogenität von Chla- mydrien	1637	fr							
Isolierung von Chlamydia pneumoniae bei atypischer Pneumonie	1462	kas							
Cholangiokarzinom Diffus wachsendes Cholangio- karzinom	1282	mq							
Cholangiopathie; HIV-asso- ziierte HIV-assozierte Cholangio- pathie	1004	adt							
Choledocholithiasis (siehe Cholelithiasis)									
Cholelithiasis Kostenvergleich zwischen der laparoskopischen Cholezystektomie und der extrakorporalen Stoßwellen- lithotripsie in der Behandlung von Gallen- blasensteinen	1532	or							
Cholesterin Cholesterin und koronare Herzkrankheit	1059	km							
Cholesterin-Normalwerte im Kindesalter	1371	fr							
Einfluß spontan niedriger und diätetisch-medikamen- tös gesenkter Cholesterin- spiegel auf nicht-kardiovas- kuläre Todesursachen	1597	kom							
Fettarme Diät und körper- liches Training bei korona- rer Herzkrankheit	1017	lz							
Cholesterinsteine (siehe Cholelithiasis)									
Cholezystektomie; laparo- skopische Clip-Wanderung in den Ductus choledochus nach laparoskopischer Chole- zystektomie	1506	mq							
Kostenvergleich zwischen der laparoskopischen Cholezystektomie und der extrakorporalen Stoßwellen- lithotripsie in der Behandlung von Gallen- blasensteinen	1532	or							
Laparoskopische Cholezyst- ektomie nach Lebervor- operation	1184	lz							
Cholezystolithiasis (siehe Cholelithiasis)									
Cholinesterase; im Serum Serum-Cholinesterase	1016	fr							
Choriongonadotropin; humanes Indikation zur Amniozentese bei über 35jährigen Schwangeren aufgrund von Serummarkern	1413	km							
Chromophore (siehe Therapie; photodyna- mische)									
Chromosomenaberrationen Diagnose eines Ullrich- Turner-Syndroms im Rentengutachten	1115	kas							
Indikation zur Amniozentese bei über 35jährigen Schwangeren aufgrund von Serummarkern	1413	km							
Prader-Labhart-Willi- Syndrom	974	fr							
Chromosomentransloka- tionen Komplette Remission bei aku- ter Promyelozytenleuk- ämie. Vorteile von <i>all- trans</i> -Retinsäure im Ver- gleich mit konventioneller Chemotherapie	1143	or							
Chronic Fatigue Syndrome (siehe Müdigkeitssyndrom; chronisches)									
Churg-Strauss-Syndrom Churg-Strauss-Syndrom oder chronische eosinophile Pneumonie?	1565	lz							
Ciclosporin Kopfschmerzen unter Ciculo- sporin-Therapie	1135	fr							
Rolle von Endothelin bei den Ciclosporin-Nebenwirkun- gen Nephrotoxizität und arterielle Hypertonie	1706	üb							
Ciguatera Ciguatera. Neue Fälle von Fischvergiftung bei deut- schen Karibik-Urlaubern	975	lz							
Cimino-Shunt Generalisiertes IgG-Lambda- Plasmozytom und Stenose eines Cimino-Shunts durch plasmazelluläre Infiltration	1694	kas							
Cisaprid Therapie der gastroösopha- gealen Refluxkrankheit	1473	adt							
Clearance; ösophageale Diagnostik der gastroösopha- gealen Refluxkrankheit	1433	adt							
Clostridium tetani Hohe Letalität von Tetanus- infektionen nach intramus- kulärer Injektion von Chi- nin	1681	km							
Clozapin Therapie einer Clozapin-indu- zierten Agranulozytose mit granulozytenkolonie-stimu- lierendem Faktor	1467	kas							
Coarctatio aortae Postduktale Aortenisthmus- stenose (Coarctatio aortae)	1548	mq							
Coeruloplasmin Hämolytische Krise mit Leberversagen als Erstma- nifestation eines Morbus Wilson	1421	kas							
Colitis granulomatosa (siehe Morbus Crohn)									

Rubrikenschlüssel

adt = Aktuelle Diagnostik
und Therapie
ar = Arztrecht
as = Der Arzneistoff
epi = Epikrise

fr = Fragen aus der Praxis
gt = Gedenktage
kas = Kasuistiken
km = Kleine Mitteilungen
kom = Kommentare

la = Leitartikel
lz = Leser-Zuschriften
mg = Medizingeschichte
mq = Mediquiz
nk = Nekrologe

or = Originalien
pp = Prinzip & Perspektive
stp = Standpunkte
üb = Übersichten

Colitis ulcerosa							
Endoskopische Diagnostik zur Prävention und Früherkennung des kolorektalen Karzinoms	1001	act					
Nicotinplaster bei Colitis ulcerosa	1261	km					
Corpus alienum (siehe Fremdkörper)							
Corpus callosum Agenesie des Corpus callosum (Balkenmangel)	1738	m q					
CPAP (siehe Überdruckbeatmung; kontinuierliche nasale)							
Cromoglicinsäure Asthma bronchiale	974	fr					
CSF (siehe Faktoren; kolonie-stimulierende)							
Cutter-Impfstoff Indikationen zur Pestimpfung und -chemoprophylaxe	1714	fr					
D							
Darier-Zeichen Schock und Gerinnungsstörungen bei systemischer Mastozytose	1231	kas					
Darmperforation Maligne atrophische Papulose	1427	kas					
Zeitintervall zwischen Koloskopie mit Biopsie und Kolonkontrasteinlauf	1333	fr					
Dauerkatheter; intravasale Infektionsprophylaxe bei Dauerverweilkatheten	1017	fr					
Dauertherapie Regelmäßige Asthma-Therapie mit β -Sympathikomimetika	1020	km					
Defibrillation (siehe Kardioversion; elektrische)							
Degeneration; hepatolentikuläre (siehe Morbus Wilson)							
Delta-Hepatitis Aktueller Stand der Behandlung chronischer Virushepatitiden mit rekombinantem Interferon alpha	961	adt					
Denver-Shunt Therapie des Aszites bei Lebererkrankungen	1549	adt					
Depressionen Erfassung von Angst und Depressivität in der medizinischen Routineversorgung	1283	adt					
Dermatitis; atopische (siehe Ekzem; endogenes)							
Desinfektion Hautdesinfektion vor der Blutentnahme	1182	fr					
Desmosomen Harnstoff in der Dermatologie	1126	üb					
Detubularisation Aktuelle Möglichkeiten des kontinenten Harnblasenersatzes	1327	üb					
Diabetes mellitus Ambulante Versorgung von Diabetikern	1056	lz					
Angiotensin-Converting-Enzym-Hemmer bei der Behandlung der diabetischen Nephropathie	1298	km					
Insulinpflichtiger Diabetes mellitus nach 58 Jahren	1450	lz					
Diabetes mellitus; Typ I Carotiswandveränderungen bei jungen Typ-I-Diabetikern. Ultraschalldiagnostik der frühen Arteriosklerose	1225	or					
Intensivierte Behandlung des Diabetes mellitus Typ I und Entwicklung von Spätkomplikationen	976	km					
Kombinierte Nieren- und Pankreastransplantation beim diabetischen Spätsyndrom	1399	adt					
Diagnostik; pränatale Diagnostik und Therapie der konnatalen Toxoplasmose	1335	lz					
Diathese; hämorrhagische Komplette Remission bei akuter Promyelozytenleukämie. Vorteile von <i>all-trans</i> -Retinsäure im Vergleich mit konventioneller Chemotherapie	1143	or					
Neonatale Alloimmunthrombozytopenie	1512	üb					
Diät Diättherapie des Morbus Crohn	1140	km					
Fettarme Diät und körperliches Training bei koronarer Herzkrankheit	1017	lz					
DiGeorge-Anomalie Calcitriol-Gabe in der Schwangerschaft bei partieller DiGeorge-Anomalie	1776	kas					
Digitalisüberdosierung Reversible Thrombozytopenie bei Digitoxinüberdosierung	1734	kas					
Diphtherie Diphtherie-Auffrischimpfung bei Erwachsenen	1219	fr					
Diskordanz; atrioventrikuläre Kongenital korrigierte Transposition der großen Arterien im Erwachsenenalter. Wert nicht-invasiver Untersuchungsmethoden	1156	kas					
Diskordanz; ventrikuloarterielle Kongenital korrigierte Transposition der großen Arterien im Erwachsenenalter. Wert nicht-invasiver Untersuchungsmethoden	1156	kas					
Dissektion; der Gefäß-intima Paradoxe zerebrale Embolie oder Dissektion der Arteria carotis interna?	1183	lz					
DNA-Amplifikation Klinische Bedeutung der Polymerase-Kettenreaktion in der Infektiologie	1625	adt					
DNS-Addukte Sekundäre Neoplasien nach Immunsuppression	1747	üb					
Dokumentation; medizinische ICD-Verschlüsselung und Pflege-Personalregelung	1412	lz					
Doppelmembranfiltration (siehe LDL-Apherese)							
Dopplerechokardiographie Dopplerechokardiographie bei chronischer rechtsventrikulärer Druckbelastung	1061	or					
Doppler-Index Retrograde Katheter-Rekanalisation langstreckiger Verschlüsse der Arteria femoralis superficialis	948	or					
Dopplersonographie Dopplersonographie peripherer Arterien bei tiefer Inspiration zur Überprüfung der sympathischen Gefäßinnervation	1567	km					
Dopplersonographie; farb-kodierte Farbdopplersonographisch gesteuerte perkutane Alkoholinstillation zur Therapie der funktionellen Schilddrüsenautonomie	1607	or					
Dosisäquivalenz Problematik des Äquivalenzbegriffes bei der Therapie mit Glucocorticoiden. Ein Vergleich der klinischen Pharmakokinetik und Pharmakodynamik von Prednisolon und Methylprednisolon	1671	üb					
Down-Syndrom (siehe Trisomie 21)							
Drogenabusus Zerebrale Anfälle unter Doxepin während einer Substitution mit Dihydrocodein	1260	lz					
Droopy-shoulder-Syndrom Neurologische Symptomatik, Diagnostik und Therapie des sogenannten »thoracic-outlet-syndrom«	1087	üb					
Dual-Energy-X-Ray Absorptiometrie Diagnostik des Osteoporoserisikos. Neue Entwicklungen und »State of the Art« 1994	1289	üb					

Einfluß einer niedrigdosierten Hydrochlorothiazidtherapie auf den Knochenmineralgehalt des axialen und peripheren Skeletts	1645	or	Echokardiographie; transösophageale Akute Aortendissektion. Diagnose durch transthorakale Echokardiographie	1297	lz	Spontaner Echokontrast im linken Ventrikel als Indikator für ein erhöhtes Thromboembolie-Risiko	1317	kas
Dual-Photonenabsorptiometrie			Akute Mitralinsuffizienz bei Osteogenesis imperfecta	1101	lz	Zerebraler ischämischer Insult. Wertigkeit der transösophagealen Echokardiographie in der Diagnostik kardialer Emboliequellen	1585	adt
Diagnostik des Osteoporosier-sikos. Neue Entwicklungen und »State of the Art« 1994	1289	üb	Echokardiographie bei Endokarditis	1006	üb	Embolie; paradoxe Paradoxe zerebrale Embolie oder Dissektion der Arteria carotis interna?	1183	lz
Duodenaldivertikel; juxta-papilläres			Klinische Bedeutung und echokardiographischer Nachweis von Aneurysmen des Vorhofseptums	1205	adt	Embolie; pulmonale (siehe Lungenembolie)		
Juxta papilläres Duodenaldivertikel	1661	mq	Kongenital korrigierte Transposition der großen Arterien im Erwachsenenalter. Wert nicht-invasiver Untersuchungsmethoden	1156	kas	Embryologie Kallmann-Syndrom. Pathophysiologie und Klinik	1436	üb
Duodenopankreatektomie			Zerebraler ischämischer Insult. Wertigkeit der transösophagealen Echokardiographie in der Diagnostik kardialer Emboliequellen	1585	adt	Embryopathien Windpocken in der ersten Schwangerschaftshälfte	1527	km
Pylorus erhalten - »a never ending story«	1372	lz	Echokontrast; spontaner intrakardialer Spontaner Echokontrast im linken Ventrikel als Indikator für ein erhöhtes Thromboembolie-Risiko	1317	kas	Empfängnisverhütung Hodenkrebsrisiko nach Vasektomie	1757	km
Durchblutungsstörungen; arterielle			Eczema craquelé Eczema craquelé	1203	mq	Enantiomere Sotalol	1477	as
Akute Ischämie eines Armes als ungewöhnlicher Ausdruck eines Ergotismus	1501	kas	Einschlußverbindungen Harnstoff in der Dermatologie	1126	üb	Endokarditis Echokardiographie bei Endokarditis	1006	üb
Maligne atrophische Papulose	1427	kas	Eisenstoffwechsel Eisenmangelanämie	1403	pp	Endotheldysfunktion Angina pectoris und normales Koronarangiogramm bei arterieller Hypertonie und linksventrikulärer Hypertrophie	1175	üb
Takayasu-Arteriitis	1801	fr	Grundlagen des Eisenstoffwechsels	1287	pp	Gesteigerte vaskuläre Sensitivität auf Nitroglycerin bei Patienten mit Hypercholesterinämie und peripherer Endotheldysfunktion	1065	or
Dysfunktionen; postischämische myokardiale			Hiatushernie	1398	mq	Endothelfärbungen Tumorgefäßinvasion beim Mammakarzinom. Hämatoxilin-Eosin- versus immunhistochemische Färbung gegen Faktor-VIII-Antigen	1491	or
Pathophysiologie der Myokarddurchblutung. Teil II: Postischämische kontraktile Dysfunktion (»stunned«-Myokard)	1745	pp	Ekzem; endogenes Behandlung der Neurodermitis mit Liposomen?	1219	fr	Endothelin Rolle von Endothelin bei den Ciclosporin-Nebenwirkungen Nephrotoxizität und arterielle Hypertonie	1706	üb
Dyspnoe			Harnstoff in der Dermatologie	1126	üb	Endothelinrezeptor-Antagonisten Rolle von Endothelin bei den Ciclosporin-Nebenwirkungen Nephrotoxizität und arterielle Hypertonie	1706	üb
»Bronchiolitis obliterans organizing pneumonia« mit akuter respiratorischer Insuffizienz	1312	kas	Ist die Neurodermitis eine Krankheit der höheren sozialen Schichten?	1757	km			
Dysraphiesyndrome			Elektrolythaushalt Therapie des Aszites bei Lebererkrankungen	1549	adt			
Syringomyelie als seltene Ursache einer beatmungspflichtigen respiratorischen Insuffizienz	1771	kas	Elektrostimulation; kardiale transösophageale Therapie bradykarder und tachykarder Rhythmusstörungen durch transösophageale Elektrostimulation des Herzens	1405	üb			
Dysregulationen; neuro-endokrinologische			Eliminationsdiät Diättherapie des Morbus Crohn	1140	km			
Fibromyalgie-Syndrom	1639	lz	Embolie; kardiogene Klinische Bedeutung und echokardiographischer Nachweis von Aneurysmen des Vorhofseptums	1205	adt			

E

Ebstein-Anomalie

Ebstein-Anomalie 1782 mq

Echokardiographie

Echokardiographie bei Endokarditis 1006 üb

Spontaner Echokontrast im linken Ventrikel als Indikator für ein erhöhtes Thromboembolie-Risiko 1317 kas

Rubrikenschlüssel

adt = Aktuelle Diagnostik und Therapie

ar = Arztrecht

as = Der Arzneistoff

epi = Epikrise

fr = Fragen aus der Praxis

gt = Gedenktage

kas = Kasuistiken

km = Kleine Mitteilungen

kom = Kommentare

la = Leitartikel

lz = Leser-Zuschriften

mg = Medizingeschichte

mq = Mediquiz

nk = Nekrologe

or = Originalien

pp = Prinzip & Perspektive

stp = Standpunkte

üb = Übersichten

Paradoxe zerebrale Embolie oder Dissektion der Arteria carotis interna?	1183	lz	Gammopathie; monoklonale		Gesundheitsfürsorge		
Forsa ovalis			Generalisiertes IgG-Lambda-Plasmozytom und Stenose eines Cimino-Shunts durch plasmazelluläre Infiltration	1694	kas	Placebo-kontrollierte Untersuchung zur Wirksamkeit der Influenza-Schutzimpfung?	1057 lz
Klinische Bedeutung und echokardiographischer Nachweis von Aneurysmen des Vorhofseptums	1205	adt	Ganglien			Gesundheitsstrukturgesetz	
Frakturen; osteoporotische			Baker-Zyste	1040	mq	ICD-Verschlüsselung und Pflege-Personalregelung	1412 lz
Einfluß einer niedrigdosierten Hydrochlorothiazidtherapie auf den Knochenmineralgehalt des axialen und peripheren Skeletts	1645	or	Hermann von Helmholtz (1821-1894) – Militärarzt, Sinnesphysiologe und »Reichskanzler der deutschen Physik«. Zum 100. Todestag des universalen Arztes und Naturforschers	1215	mg	Gewebe-Plasminogenaktivator	
Vitamin D und Osteoporose. Pathogenese – Therapie	1479	üb	Gastrektomie			(siehe Fibrinolyse)	
Fremdkörperingestion			Adjuvante Chemotherapie nach kurativer Gastrektomie bei Magenkarzinom	1298	km	Gilman, Alfred G.	
Präsakrale Phlegmone und Meningitis als Komplikationen eines Fremdkörpers im Rektosigmoid	990	kas	Gastritis			Nobelpreis für Medizin 1994	1792 kom
Frischblut			Modifizierter ¹³ C-Atemtest in der Diagnostik der Helicobacter-pylori-Besiedlung der gastralen Mucosa	1569	or	Glioblastom	
Rationale Substitution mit Blut- und Blutbestandteilkonserven	1555	üb	Gastroplexie			Glioblastom	1000 mq
Frischplasma; gefrorenes			Behandlung eines intermittierenden Magenvolvulus durch Gastroplexie mittels perkutaner endoskopischer Gastrostomie	1658	kas	Gliose	
Rationale Substitution mit Blut- und Blutbestandteilkonserven	1555	üb	Gefäßtonus; Regulation			Syringomyelie als seltene Ursache einer beatmungspflichtigen respiratorischen Insuffizienz	1771 kas
Früherkennung; von Malignomen			Gesteigerte vaskuläre Sensitivität auf Nitroglycerin bei Patienten mit Hypercholesterinämie und peripherer Endotheldysfunktion	1065	or	Glomerulonephritis	
Tiefe Venenthrombose und okkulte, maligne Neoplasien	1719	km	Gelenkluxationen			Einseitige diffuse Lungenbeteiligung bei Vaskulitis mit Anti-Neutrophilen-Zytoplasma-Antikörpern sowie Antikörpern gegen glomeruläre Basalmembranen	1071 kas
Frühgeburtlichkeit			Larson-Syndrom	1584	mq	Gnathostomiasis	
Psychische Belastung in der Schwangerschaft und Frühgeburt	1141	km	Gentechnologie			Gnathostomiasis nach Aufenthalt in Thailand	1618 kas
Fundusvarizen			Klinische Bedeutung der Polymerase-Kettenreaktion in der Infektiologie	1625	adt	Gonadendysgenese	
Fundusvarizen	959	mq	Gerinnung			Diagnose eines Ullrich-Turner-Syndroms im Rentengutachten	1115 kas
G							
Gallenblasenmotilitätsstörungen			Ist die »International Normalized Ratio (INR)« in der klinischen Praxis unentbehrlich?	1529	la	Gonadorelin	
Gallenblasen-Sludge und Einnahme von Lipidsenkern	1524	fr	Gerinnungsfaktoren			Kallmann-Syndrom. Pathophysiologie und Klinik	1436 üb
Gambierdiscus toxicus			Rationale Substitution mit Blut- und Blutbestandteilkonserven	1555	üb	Goodpasture-Syndrom	
Ciguatera. Neue Fälle von Fischvergiftung bei deutschen Karibik-Urlaubern	975	lz	Gerinnungsstörungen			Einseitige diffuse Lungenbeteiligung bei Vaskulitis mit Anti-Neutrophilen-Zytoplasma-Antikörpern sowie Antikörpern gegen glomeruläre Basalmembranen	1071 kas
Gamma-Glutamyltransferase			Resistenz gegenüber aktiviertem Protein C	1680	km	G-Proteine	
Die erhöhte Gamma-GT (Gamma-Glutamyltransferase). Ursachen und Interpretationen	1041	adt	Schock und Gerinnungsstörungen bei systemischer Mastozytose	1231	kas	Nobelpreis für Medizin 1994	1792 kom
			Geschäftsfähigkeit			Granulocyte-Colony-Stimulating-Factor	
			Geschäftsfähigkeit bei hohem Blutalkoholspiegel	1602	fr	Schwere Panzytopenie im hohen Lebensalter nach zwölfmonatiger ACE-Hemmer-Therapie	1029 kas
						Therapie einer Clozapin-induzierten Agranulozytose mit granulozytenkolonie-stimulierendem Faktor	1467 kas

Rubrikschlüssel

adt = Aktuelle Diagnostik und Therapie
 ar = Arztrecht
 as = Der Arzneistoff
 epi = Epikrise

fr = Fragen aus der Praxis
 gt = Gedenktage
 kas = Kasuistiken
 km = Kleine Mitteilungen
 kom = Kommentare

la = Leitartikel
 lz = Leser-Zuschriften
 mg = Medizingeschichte
 mq = Mediquiz
 nk = Nekrologe

or = Originalien
 pp = Prinzip & Perspektive
 stp = Standpunkte
 üb = Übersichten

- Granulocyte-Macrophage-Colony-Stimulating-Factor**
Therapie einer Clozapin-induzierten Agranulozytose mit granulozytenkolonie-stimulierendem Faktor 1467 kas
- Granulome; eosinophile**
Churg-Strauss-Syndrom oder chronische eosinophile Pneumonie? 1565 lz
- Gravidität**
(siehe Schwangerschaft)
- Grenzstrangdurchtrennung**
Endoskopische transthorakale Sympathektomie bei paraneoplastischem Raynaud-Syndrom 1162 kas
- GSG**
(siehe Gesundheitsstrukturgesetz)
- Guillain-Barré-Syndrom**
Immunglobuline zur Therapie des Guillain-Barré-Syndroms im Kindesalter 1449 lz
- Intensivtherapie des Guillain-Barré-Syndroms 1248 üb
- H**
- HAD-Skala**
Erfassung von Angst und Depressivität in der medizinischen Routineversorgung 1283 adt
- Haffkin-Impfstoff**
Indikationen zur Pestimpfung und -chemoprophylaxe 1714 fr
- Halsrippe**
Neurologische Symptomatik, Diagnostik und Therapie des sogenannten »thoracic-outlet-syndromes« 1087 üb
- Handtumoren**
Differentialdiagnose knotiger Tumoren an der Hand 1101 lz
- Harnblasenersatz**
Aktuelle Möglichkeiten des kontinenten Harnblasenersatzes 1327 üb
- Harnproduktion**
Glomeruläre Hyperperfusion und Niereninsuffizienz 1136 fr
- Harnsäure**
Allopurinol 1045 as
- Harnstoff**
Harnstoff in der Dermatologie 1126 üb
Modifizierter ¹³C-Atemtest in der Diagnostik der Helicobacter-pylori-Besiedlung der gastralen Mucosa 1569 or
- Harnstoffzyklus**
Harnstoff in der Dermatologie 1126 üb
- Hautdesinfektion**
Hautdesinfektion vor der Blutentnahme 1182 fr
- Hauttumoren**
Differentialdiagnose knotiger Tumoren an der Hand 1101 lz
Risiken der Sonnenexposition 1047 üb
- Hämodialyse**
Akute Hämolyse mit nachfolgender lebensbedrohlicher Pankreatitis bei Hämodialyse. Eine Komplikation, die von den derzeitigen Dialysegeräten nicht verhindert wird 1263 or
Fortschritte der chronischen Dialyse-Behandlung in den neuen Bundesländern 1261 km
Impfungen bei chronischer Niereninsuffizienz und nach Nierentransplantation 1323 adt
- Hämodynamik**
Gesteigerte vaskuläre Sensitivität auf Nitroglycerin bei Patienten mit Hypercholesterinämie und peripherer Endotheldysfunktion 1065 or
- Hämoglobin; glykosyliertes**
Ambulante Versorgung von Diabetikern 1056 lz
- Hämolyse; extravasale**
Akute Hämolyse mit nachfolgender lebensbedrohlicher Pankreatitis bei Hämodialyse. Eine Komplikation, die von den derzeitigen Dialysegeräten nicht verhindert wird 1263 or
- Hämostase**
Resistenz gegenüber aktiviertem Protein C 1680 km
- Hämotherapie**
»Look-back«-Studie der DRK-Blutspendedienste 1643 km
Neonatale Alloimmunthrombozytopenie 1512 üb
Rationale Substitution mit Blut- und Blutbestandteilkonserven 1555 üb
Universal-Spenderblut 1019 lz
- HCG**
(siehe Choriongonadotropin; humanes)
- HDL-Cholesterin**
Fischaugenkrankheit 1393 kas
- Heiserkeit**
Heiserkeit bei Polymyalgia rheumatica 1566 lz
- Helicobacter pylori**
Ist die Ulcuskrankheit eine Infektionskrankheit? 1488 km
Modifizierter ¹³C-Atemtest in der Diagnostik der Helicobacter-pylori-Besiedlung der gastralen Mucosa 1569 or
Übertragungsmodus von Helicobacter pylori 1719 km
- v. Helmholtz; Hermann**
Hermann v. Helmholtz (1821-1894) - Militärarzt, Sinnerphysiologe und »Reichskanzler der deutschen Physik«. Zum 100. Todestag des universalen Arztes und Naturforschers 1215 mg
- Heparin; niedermolekulares**
Einsatz von niedermolekularem Heparin zur Antikoagulation in der Schwangerschaft 1497 kas
- Hepatitis; chronische**
Epidemiologie und Klinik der chronischen Virushepatitis 1365 üb
- Hepatitis B**
Aktueller Stand der Behandlung chronischer Virushepatitiden mit rekombinantem Interferon alpha 961 adt
Akzidentelle Nadelstichverletzung bei medizinischem Pflegepersonal 1563 fr
Epidemiologie und Klinik der chronischen Virushepatitis 1365 üb
Hepatitis-B-assoziierte Vasculitis. Verlauf unter Therapie mit Glucocorticoiden und Alpha-Interferon 1388 kas
- Hepatitis C**
Aktueller Stand der Behandlung chronischer Virushepatitiden mit rekombinantem Interferon alpha 961 adt
Akzidentelle Nadelstichverletzung bei medizinischem Pflegepersonal 1563 fr
Chronische Hepatitis C bei Typ-II-Kryoglobulinämie und kutaner Vasculitis 1239 kas
Epidemiologie und Klinik der chronischen Virushepatitis 1365 üb
- Hepatitis D**
Epidemiologie und Klinik der chronischen Virushepatitis 1365 üb
- Hernien; innere**
Möglichkeiten der laparoskopischen Therapie innerer Hernien. Darstellung an drei Fällen 1199 kas
- Herpes zoster**
Wirksamkeit von Aciclovir und Glucocorticoiden in der Behandlung des Herpes zoster und postzosterischer Neuralgien 1526 km
- Herpes-simplex-Virus-Infektionen**
Chronische Müdigkeit und Herpes-Virus-Antikörper 1296 fr
- Herzinfarkt**
(siehe Myokardinfarkt)
- Herzinsuffizienz**
Beta-Rezeptorenblocker bei dilatativer Kardiomyopathie 1604 km

Herzklappenfehler			Herztod; plötzlicher		Ösophago-mediastinale	1613	kas
Akute Mitralinsuffizienz bei Osteogenesis imperfecta	1101	lz	Akute Myokardischämie, ventrikuläre Tachyarrhythmien und plötzlicher Herztod	1786	Fisteln als seltene Komplikation der Tuberkulose bei einem HIV-infizierten Patienten		
Herzklappenprothesen			Herztransplantation		Sinusitis bei HIV-Infektion	1759	or
Echokardiographie bei Endokarditis	1006	üb	Primär kutane Nocardia-farcinica-Infektion nach Herztransplantation	1276	Sputumuntersuchung zur Diagnostik der Pneumocystis-carinii-Pneumonie bei HIV-Infizierten	1151	or
Herzkrankheit; koronare			Primär kutane Nocardia-farcinica-Infektion nach Herztransplantation (Berichtigung)	1568	Unverträglichkeit der Tuberkulose-therapie bei AIDS	1728	kas
Cholesterin und koronare Herzkrankheit	1059	km	Herzvitien; angeborene		Zidovudin bei asymptomatischen HIV-Patienten?	1374	km
Einfluß spontan niedriger und diätetisch-medikamentös gesenkter Cholesterinspiegel auf nicht-kardiovaskuläre Todesursachen	1597	kom	Ebstein-Anomalie	1782	HLA-Typisierung		
Fettarme Diät und körperliches Training bei koronarer Herzkrankheit	1017	lz	Großer subaortaler Ventrikelseptumdefekt	1583	Aufbau der Deutschen Knochenmarkspenderdatei	1359	adt
Zentralnervöse Vermittlung der Angina pectoris	1604	km	Komplette Transposition der großen Arterien	1662	Hodenkrebs		
Herzrhythmusstörungen			Kongenital korrigierte Transposition der großen Arterien im Erwachsenenalter. Wert nicht-invasiver Untersuchungsmethoden	1156	Hodenkrebsrisiko nach Vasektomie	1757	km
Adenosintriphosphat (ATP) bei supraventrikulären Tachykardien im Neugeborenen- und Säuglingsalter	1351	kas	Herzvitien; erworbene		Hormon; Antidiuretisches; Syndrom der inadäquaten Sekretion		
Akute Myokardischämie, ventrikuläre Tachyarrhythmien und plötzlicher Herztod	1786	üb	Operationsindikation bei asymptomatischer hochgradiger Aortenklappenstenose	1630	Hyponatriämisches Koma	1139	lz
Idiopathisches QT-Syndrom (Romano-Ward-Syndrom)	1204	mq	Heyde-Syndrom		Hornhauttrübung		
Idioventrikulärer Rhythmus	1432	mq	Endoskopische intraoperative Diagnostik einer blutenden Angiodysplasie im Jejunum beim Heyde-Syndrom	1603	Fischaugenkrankheit	1393	kas
Klinische Bedeutung des Ajmalin-Tests in der nicht-invasiven Diagnostik bei Wolff-Parkinson-White-Syndrom	985	or	Hiatushernie		H₂-Rezeptor-Antagonisten		
Magnesium bei Herzinfarkt	1102	km	Hiatushernie	1398	Therapie der gastroösophagealen Refluxkrankheit	1473	adt
Magnesium-Infusion bei akutem Herzinfarkt	1800	fr	Hibernating-Myokard		Humanalbumin		
Morbidität und Letalität bei Schlafapnoe und nächtlichen Bradyarrhythmien	1187	or	Pathophysiologie der Myokarddurchblutung. Teil I: Adaptation an Myokardischämie (»hibernating«-Myokard)	1589	Rationale Substitution mit Blut- und Blutbestandteilkonserven	1555	üb
Schrittmachertherapie beim Syndrom des kranken Sinusknotens. Senken vorhoffeteiligte Schrittmachersysteme die Häufigkeit von Vorhofflimmern und thromboembolischen Komplikationen sowie die Mortalität?	1683	or	Hiob-Syndrom		Hybridisierung		
Therapie bradykarder und tachykarder Rhythmusstörungen durch transösophageale Elektrostimulation des Herzens	1405	üb	(siehe Hyper-IgE-Syndrom)		Klinische Bedeutung der Polymerase-Kettenreaktion in der Infektiologie	1625	adt
Herzschritmacher			Hirnfarkt		Hydrocele testis		
Schrittmachertherapie beim Syndrom des kranken Sinusknotens. Senken vorhoffeteiligte Schrittmachersysteme die Häufigkeit von Vorhofflimmern und thromboembolischen Komplikationen sowie die Mortalität?	1683	or	(siehe Insult; zerebraler)		Eingeklemmte Leistenhernie. Hydrocele testis	1358	mq
			Hirntumoren		Hydrochlorothiazid		
			Glioblastom	1000	Einfluß einer niedrigdosierten Hydrochlorothiazidtherapie auf den Knochenmineralgehalt des axialen und peripheren Skeletts	1645	or
			HIV-Antikörper-Test		25-Hydroxy-Vitamin-D₃		
			»Look-back«-Studie der DRK-Blutspendedienste	1643	Vitamin D und Osteoporose. Pathogenese - Therapie	1479	üb
			HIV-Infektion		Hymenopterengift		
			Akzidentelle Nadelstichverletzung bei medizinischem Pflegepersonal	1563	Besteht bei einer Insektengift-Allergie immer die Indikation für eine Hyposensibilisierung?	1093	la
			HIV-assoziierte Cholangiopathie	1004	Hypakusis		
			HIV-Übertragung bei heterosexuellen Partnern	1805	Diagnose eines Ullrich-Turner-Syndroms im Renten-gutachten	1115	kas
			»Look-back«-Studie der DRK-Blutspendedienste	1643			

Rubrikenschlüssel

adt = Aktuelle Diagnostik und Therapie
 ar = Arztrecht
 as = Der Arzneistoff
 epi = Epikrise

fr = Fragen aus der Praxis
 gt = Gedenktage
 kas = Kasuistiken
 km = Kleine Mitteilungen
 kom = Kommentare

la = Leitartikel
 lz = Leser-Zuschriften
 mg = Medizingeschichte
 mq = Mediquiz
 nk = Nekrologe

or = Originalien
 pp = Prinzip & Perspektive
 stp = Standpunkte
 üb = Übersichten

Hypercalcämie									
Asymptomatischer primärer Hyperparathyreoidismus. Behandeln oder beobachten?	967	üb							
Neuropsychiatrische Symptomatik bei primärem Hyperparathyreoidismus	1076	kas							
Hypercholesterinämie									
Gallenblasen-Sludge und Einnahme von Lipidsenkern	1524	fr							
Gesteigerte vaskuläre Sensitivität auf Nitroglycerin bei Patienten mit Hypercholesterinämie und peripherer Endotheldysfunktion	1065	or							
Hypercholesterinämie	1099	fr							
Hyperfiltration; glomeruläre									
Glomeruläre Hyperperfusion und Niereninsuffizienz	1136	fr							
Hyper-IgE-Syndrom									
Hyper-IgE-Syndrom (Synonyma: Hiob-Syndrom, Buckley-Syndrom, »Job's syndrome«)	1121	mq							
Hyperkapnie									
Ventilatorische Insuffizienz und hyperkapnische Kompensation infolge chronisch belasteter »Atempumpe«. Physiologie, Pathophysiologie und Therapie	1209	üb							
Hyperkeratosen									
Harnstoff in der Dermatologie	1126	üb							
Hyperleukozytosesyndrom									
Komplette Remission bei akuter Promyelozytenleukämie. Vorteile von <i>all-trans</i> -Retinsäure im Vergleich mit konventioneller Chemotherapie	1143	or							
Hyperlipidämie									
Cholesterin und koronare Herzkrankheit	1059	km							
Fettarme Diät und körperliches Training bei koronarer Herzkrankheit	1017	lz							
Gallenblasen-Sludge und Einnahme von Lipidsenkern	1524	fr							
Hypermagnesiämie									
Magnesium	1669	as							
Hyperparathyreoidismus; primärer									
Asymptomatischer primärer Hyperparathyreoidismus. Behandeln oder beobachten?	967	üb							
Neuropsychiatrische Symptomatik bei primärem Hyperparathyreoidismus	1076	kas							
Hyperperfusion; glomeruläre									
Glomeruläre Hyperperfusion und Niereninsuffizienz	1136	fr							
Hyperphagie									
Prader-Labhart-Willi-Syndrom	974	fr							
Hyperphosphatämie									
Calcitriol-Gabe in der Schwangerschaft bei partieller DiGeorge-Anomalie	1776	kas							
Hyperpigmentierung									
Interdisziplinäre Aspekte der Notalgia paraesthetica	1307	kas							
Hyperthyreose									
Farbdopplersonographisch gesteuerte perkutane Alkoholinstillation zur Therapie der funktionellen Schilddrüsenautonomie	1607	or							
Jodinduzierte Hyperthyreose bei metastasiertem Schilddrüsenkarzinom	1573	kas							
Jodprophylaxe in der Schwangerschaft	1339	la							
Latente Hyperthyreose	1334	fr							
Neonatale Hyperthyreose bei nicht diagnostiziertem Morbus Basedow der Mutter. Probleme der Diagnostik und Therapie anhand einer Kasuistik	1346	kas							
Hypertonie; arterielle									
Angina pectoris und normales Koronarangiogramm bei arterieller Hypertonie und linksventrikulärer Hypertrophie	1175	üb							
Angiotensin-Converting-Enzym-Hemmer bei der Behandlung der diabetischen Nephropathie	1298	km							
Asymptomatischer primärer Hyperparathyreoidismus. Behandeln oder beobachten?	967	üb							
Renin-Angiotensin-System und Blutdruckregulation	965	pp							
Rolle von Endothelin bei den Cyclosporin-Nebenwirkungen Nephrotoxizität und arterielle Hypertonie	1706	üb							
Symptomatik und endokrinologische Befunde bei catecholamin-sezernierenden Tumoren. Ergebnisse bei 106 konsekutiven Patienten	1721	or							
Hypertonie; portale									
Endoskopische Therapie der Ösophagusvarizenblutung	1443	kom							
Lebervenenverschlussdruckmessung	1245	adt							
Hypertonie; pulmonale									
Dopplerechokardiographie bei chronischer rechtsventrikulärer Druckbelastung	1061	or							
Hypertrophie; linksventrikuläre									
Angina pectoris und normales Koronarangiogramm bei arterieller Hypertonie und linksventrikulärer Hypertrophie	1175	üb							
Hyperurikämie									
Allopurinol	1045	as							
Hypobetalipoproteinämie									
Hypocholesterinämie	1677	fr							
Hypocalcämie									
Calcitriol-Gabe in der Schwangerschaft bei partieller DiGeorge-Anomalie	1776	kas							
Hypocalcämische Kardiomyopathie als Ursache einer schweren Linksherzinsuffizienz	1270	kas							
Hypocalcämische Kardiomyopathie als Ursache einer schweren Linksherzinsuffizienz (Berichtigung)	1414								
Hypocholesterinämie									
Hypocholesterinämie	1677	fr							
Hypogonadismus; hypogonadotroper									
Kallmann-Syndrom. Pathophysiologie und Klinik	1436	üb							
Hypokomplementämie									
Chronische Hepatitis C bei Typ-II-Kryoglobulinämie und kutaner Vaskulitis	1239	kas							
Hyponatriämie									
Hyponatriämisches Koma	1139	lz							
Hypoparathyreoidismus; idiopathischer									
Calcitriol-Gabe in der Schwangerschaft bei partieller DiGeorge-Anomalie	1776	kas							
Hyposensibilisierung									
Besteht bei einer Insektengift-Allergie immer die Indikation für eine Hyposensibilisierung?	1093	la							
Hyposmie									
Kallmann-Syndrom. Pathophysiologie und Klinik	1436	üb							
Hypotriglyceridämie									
Hypocholesterinämie	1677	fr							
Hypoxämie									
Ventilatorische Insuffizienz und hyperkapnische Kompensation infolge chronisch belasteter »Atempumpe«. Physiologie, Pathophysiologie und Therapie	1209	üb							
ICD-Schlüssel									
ICD-Verschlüsselung und Pflege-Personalregelung	1412	lz							
IgE									
(siehe Immunglobulin E)									
Ileum-Pouch									
Aktuelle Möglichkeiten des kontinenten Harnblasenersatzes	1327	üb							
Ileus									
Endoskopische Ballondilatation symptomatischer Strikturen bei Morbus Crohn	1377	or							
Möglichkeiten der laparoskopischen Therapie innerer Hernien. Darstellung an drei Fällen	1199	kas							

Imidazolpräparate			Epidemiologie und Klinik der chronischen Virushepatitis	1365	üb	Infektionen; opportunistische		
Therapie kutaner und mukokutaner Leishmaniosen	1169	adt	Hepatitis-A-Impfung	1800	fr	Primär kutane Nocardia-farctica-Infektion nach Herztransplantation	1276	kas
Immunadsorption (siehe LDL-Apherese)			Impfungen bei chronischer Niereninsuffizienz und nach Nierentransplantation	1323	adt	Primär kutane Nocardia-farctica-Infektion nach Herztransplantation (Berichtigung)	1568	
Immunchemotherapie			Indikationen zur Pestimpfung und -chemoprophylaxe	1714	fr	Sinusitis bei HIV-Infektion	1759	or
Adjuvante Chemotherapie nach kurativer Gastrektomie bei Magenkarzinom	1298	km	Placebo-kontrollierte Untersuchung zur Wirksamkeit der Influenza-Schutzimpfung?	1057	lz	Sputumuntersuchung zur Diagnostik der Pneumocystis-carinii-Pneumonie bei HIV-Infizierten	1151	or
Immundefektsyndrom; humanes erworbenes			Immunkomplexkrankheiten			Unverträglichkeit der Tuberkulosetherapie bei AIDS	1728	kas
Akzidentelle Nadelstichverletzung bei medizinischem Pflegepersonal	1563	fr	Hepatitis-B-assoziierte Vasculitis. Verlauf unter Therapie mit Glucocorticoiden und Alpha-Interferon	1388	kas	Infektionsprophylaxe		
HIV-assoziierte Cholangiopathie	1004	adt	Immundefizienz			Infektionsprophylaxe bei Dauerverweilkanülen	1017	fr
Idiopathische CD4-Lymphozytopenie mit letaler Salmonella-typhimurium-Sepsis	956	kas	Hepatitis-B-assoziierte Vasculitis. Verlauf unter Therapie mit Glucocorticoiden und Alpha-Interferon	1388	kas	Infiltrate; eosinophile pulmonale		
»Look-back«-Studie der DRK-Blutspendedienste	1643	km	Immundefizienz			Churg-Strauss-Syndrom oder chronische eosinophile Pneumonie?	1565	lz
Ösophago-mediastinale Fisteln als seltene Komplikation der Tuberkulose bei einem HIV-infizierten Patienten	1613	kas	Immunglobuline zur Therapie des Guillain-Barré-Syndroms im Kindesalter	1449	lz	Infiltrate; intrapulmonale		
Sputumuntersuchung zur Diagnostik der Pneumocystis-carinii-Pneumonie bei HIV-Infizierten	1151	or	Impfungen bei chronischer Niereninsuffizienz und nach Nierentransplantation	1323	adt	Differentialdiagnose von Rundherden nach Lungentransplantation	1105	or
Unverträglichkeit der Tuberkulosetherapie bei AIDS	1728	kas	Therapie der multiplen Sklerose	1371	fr	Influenza		
Zidovudin bei asymptomatischen HIV-Patienten?	1374	km	Immunozytom			Placebo-kontrollierte Untersuchung zur Wirksamkeit der Influenza-Schutzimpfung?	1057	lz
Immundefizienz			Gamma-Schwerketten-Produktion als Epiphänomen bei Non-Hodgkin-Lymphom	1235	kas	Inoue-Ballon		
Calcitriol-Gabe in der Schwangerschaft bei partieller DiGeorge-Anomalie	1776	kas	Immunozytom; lymphoplasmozytoides			Notfallmäßige perkutane Mitralvalvuloplastie mit dem Inoue-Ballon bei hochgradiger Mitralstenose und kardiogenem Schock	1110	kas
Idiopathische CD4-Lymphozytopenie mit letaler Salmonella-typhimurium-Sepsis	956	kas	Langzeitbeobachtung bei lymphoplasmozytoiden Immunozytomen	1487	lz	INR (siehe International Normalized Ratio)		
Impfungen bei chronischer Niereninsuffizienz und nach Nierentransplantation	1323	adt	Immunsuppression			Insektengift-Allergie		
Sekundäre Neoplasien nach Immunsuppression	1747	üb	Differentialdiagnose von Rundherden nach Lungentransplantation	1105	or	Besteht bei einer Insektengift-Allergie immer die Indikation für eine Hyposensibilisierung?	1093	la
Immunglobulin E			Idiopathische CD4-Lymphozytopenie mit letaler Salmonella-typhimurium-Sepsis	956	kas	Inselzelltransplantation		
Hyper-IgE-Syndrom (Synonyma: Hiob-Syndrom, Buckley-Syndrom, »Job's syndrome«)	1121	mq	Primär kutane Nocardia-farctica-Infektion nach Herztransplantation	1276	kas	Kombinierte Nieren- und Pankreastransplantation beim diabetischen Spätsyndrom	1399	adt
Immunglobulintherapie			Primär kutane Nocardia-farctica-Infektion nach Herztransplantation (Berichtigung)	1568		Insomnie		
Immunglobuline zur Therapie des Guillain-Barré-Syndroms im Kindesalter	1449	lz	Psychosoziale Probleme bei Langzeitimmunsuppression nach Organtransplantation	1678	lz	Ambulante Behandlung von Schlafstörungen im Alter	1538	or
Intensivtherapie des Guillain-Barré-Syndroms	1248	üb	Sekundäre Neoplasien nach Immunsuppression	1747	üb	Instabilität; elektrische		
Rationale Substitution mit Blut- und Blutbestandteilkonserven	1555	üb	Immunthrombozytopenie			Akute Myokardischämie, ventrikuläre Tachyarrhythmien und plötzlicher Herztod	1786	üb
Immunisierung			Neonatale Alloimmunthrombozytopenie	1512	üb	Insuffizienz; respiratorische (siehe Ateminsuffizienz)		
Diphtherie-Auffrischimpfung bei Erwachsenen	1219	fr	Impfschemata					
			Diphtherie-Auffrischimpfung bei Erwachsenen	1219	fr			

Rubrikenschlüssel

adt = Aktuelle Diagnostik und Therapie
ar = Arztrecht
as = Der Arzneistoff
epi = Epikrise

fr = Fragen aus der Praxis
gt = Gedenktage
kas = Kasuistiken
km = Kleine Mitteilungen
kom = Kommentare

la = Leitartikel
lz = Leser-Zuschriften
mg = Medizingeschichte
mq = Mediquiz
nk = Nekrologe

or = Originalien
pp = Prinzip & Perspektive
stp = Standpunkte
üb = Übersichten

Insulinbehandlung			Intoxikationen			Karpaltunnelsyndrom		
Insulinpflichtiger Diabetes mellitus nach 58 Jahren	1450	lz	Akute Vergiftung durch fluoridiertes Trinkwasser	1185	km	Neurologische Symptomatik, Diagnostik und Therapie des sogenannten »thoracic-outlet-syndrome«	1087	üb
Insulinbehandlung; intensiviert			Bleiintoxikation durch Mennige in Paprikapulver	1756	lz			
Intensivierte Behandlung des Diabetes mellitus Typ I und Entwicklung von Spätkomplikationen	976	km	Ciguatera. Neue Fälle von Fischvergiftung bei deutschen Karibik-Urlaubern	975	lz	Karyogramm		
Insult; zerebraler			Enzephalopathie nach Intoxikation mit einem Anticholinergikum	1803	lz	Diagnose eines Ullrich-Turner-Syndroms im Rentengutachten	1115	kas
Paradoxe zerebrale Embolie oder Dissektion der Arteria carotis interna?	1183	lz	Serum-Cholinesterase	1016	fr	Karzinogenese		
Zerebraler ischämischer Insult. Wertigkeit der transösophagealen Echokardiographie in der Diagnostik kardialer Emboliequellen	1585	adt	Invagination			Asbest-induzierte Erkrankungen der Lunge und Pleura	1603	lz
Intensivmedizin			Invagination bei Peutz-Jeghers-Syndrom	960	mq	Das extrapulmonale kleinzellige Karzinom – eine Rarität?	1591	üb
Risikofaktoren für gastrointestinale Blutungen bei Patienten der Intensivstation	1337	km	Ischämie; mesenteriale			Gerbstoffe und Krebsrisiko	1411	fr
Therapie der akuten Pankreatitis	1739	adt	Chronische mesenteriale Ischämie	979	or	Risiken der Sonnenexposition	1047	üb
Interaktionen; von Medikamenten			Ischämie; zerebrale			Schistosomiasis und Siegelringzellkarzinom der Ileo-zökalklappe	1058	lz
Hohe Letalität von Tetanusinfektionen nach intramuskulärer Injektion von Chinin	1681	km	Zerebraler ischämischer Insult. Wertigkeit der transösophagealen Echokardiographie in der Diagnostik kardialer Emboliequellen	1585	adt	Sekundäre Neoplasien nach Immunsuppression	1747	üb
Problematik des Äquivalenzbegriffes bei der Therapie mit Glucocorticoiden. Ein Vergleich der klinischen Pharmakokinetik und Pharmakodynamik von Prednisolon und Methylprednisolon	1671	üb	J			Karzinom; kleinzelliges extrapulmonales		
Interferon alpha-2b			Jodexposition			Das extrapulmonale kleinzellige Karzinom – eine Rarität?	1591	üb
Aktueller Stand der Behandlung chronischer Virushepatitiden mit rekombinantem Interferon alpha	961	adt	Jodinduzierte Hyperthyreose bei metastasiertem Schilddrüsenkarzinom	1573	kas	Karzinom; kolorektales		
Hepatitis-B-assoziierte Vasculitis. Verlauf unter Therapie mit Glucocorticoiden und Alpha-Interferon	1388	kas	Latente Hyperthyreose	1334	fr	Adjuvante Therapie bei kolorektalen Karzinomen	1663	adt
Intermittent Positive Pressure Ventilation			Jod-123-Octreotid (siehe Octreotid)			Endoskopische Diagnostik zur Prävention und Früherkennung des kolorektalen Karzinoms	1001	adt
Ventilatorische Insuffizienz und hyperkapnische Kompensation infolge chronisch belasteter »Atempumpe«. Physiologie, Pathophysiologie und Therapie	1209	üb	Jodsalzprophylaxe			Karzinomrisiko		
International Classification of Diseases			Jodprophylaxe in der Schwangerschaft	1339	la	Hodenkrebsrisiko nach Vasektomie	1757	km
ICD-Verschlüsselung und Pflege-Personalregelung	1412	lz	Juckreiz (siehe Pruritus)			Katarakt		
International Normalized Ratio						Ambulante Kataraktoperationen	1486	fr
Ist die »International Normalized Ratio (INR)« in der klinischen Praxis unentbehrlich?	1529	la	K			Katheter-Rekanalisation; retrograde		
Intimadisektion (siehe Dissektion; der Gefäßintima)			Kaliumkanalblocker			Retrograde Katheter-Rekanalisation langstreckiger Verschlüsse der Arteria femoralis superficialis	948	or
			Sotalol	1477	as	Katheterverschluß; bei Herzvitien		
			Kallmann-Syndrom			Nicht-operativer Verschluß des Vorhofseptumdefektes bei Erwachsenen. Erfahrungen mit dem Rashkind- und dem Sideris-Okkluder	1341	or
			Kallmann-Syndrom. Pathophysiologie und Klinik	1436	üb	Kayser-Fleischer-Kornealring		
			Kardiomyopathie; dilatative			Hämolytische Krise mit Leberversagen als Erstmanifestation eines Morbus Wilson	1421	kas
			Beta-Rezeptorenblocker bei dilatativer Kardiomyopathie	1604	km	Keratinolyse		
			Kardiomyopathie; hypocalcämische			Harnstoff in der Dermatologie	1126	üb
			Hypocalcämische Kardiomyopathie als Ursache einer schweren Linksherzinsuffizienz	1270	kas	Keratoconjunctivitis sicca		
			Hypocalcämische Kardiomyopathie als Ursache einer schweren Linksherzinsuffizienz (Berichtigung)	1414		Sicca-Symptomatik unter systemischer Therapie mit Beta-Rezeptorenblockern	1783	adt
			Kardioversion; elektrische			Keratosi solaris		
			Therapie bradykarder und tachykarder Rhythmusstörungen durch transösophageale Elektrostimulation des Herzens	1405	üb	Solare Keratose und Sonnenschutzmittel	1223	km

Wiedereröffnung chronischer Koronararterienverschlüsse: Welche Faktoren beeinflussen den Erfolg?	1766	or	Langzeitdilata-tion; von Koronarstenosen Langzeitdilata-tion bei erfolgloser perkutaner transluminaler Koronarangioplastie	1458	or	Leiomyom; des Magens Leiomyom des Magens	1167	mq
Kostenentwicklung; im Gesundheitswesen						Leishmaniosen; mukokutane Therapie kutaner und mukokutaner Leishmaniosen	1169	adt
ICD-Verschlüsselung und Pflege-Personalregelung	1412	lz	Langzeit-Elektrokardiographie			Leistenhernien		
Kostenvergleich zwischen der laparoskopischen Cholezystektomie und der extrakorporalen Stoßwellenlithotripsie in der Behandlung von Gallenblasensteinen	1532	or	Akute Myokardischämie, ventrikuläre Tachyarrhythmien und plötzlicher Herztod	1786	üb	Eingeklemmte Leistenhernie. Hydrocele testis	1358	mq
Krampfanfälle			Langzeit-pH-Manometrie			Leitungsbahnen; akzessorische		
Zerebrale Anfälle unter Doxepin während einer Substitution mit Dihydrocodein	1260	lz	Diagnostik der gastroösophagealen Refluxkrankheit	1433	adt	Klinische Bedeutung des Ajmalin-Tests in der nicht-invasiven Diagnostik bei Wolff-Parkinson-White-Syndrom	985	or
Kreatinkinaseerhöhung			Lansoprazol			Leukenzephalopathie		
Akutes myoglobinurisches Nierenversagen als Folge von autoaggressivem Verhalten bei Oligophrenie	994	kas	Therapie der gastroösophagealen Refluxkrankheit	1473	adt	Leukenzephalopathie nach intrathekaler Zytostatikagabe bei akuter lymphatischer Leukämie	1637	fr
Krebsrisiko			Laparoskopie			Levamisol		
Britische Atomwaffentests der fünfziger und sechziger Jahre	1413	km	Derzeitiger Stellenwert der Laparoskopie in der onkologischen Chirurgie	1518	kom	Adjuvante Chemotherapie beim operierten Kolonkarzinom	1181	fr
Krisen; hypertonische			Laparoskopische Cholezystektomie nach Leberveroperation	1184	lz	Adjuvante Therapie bei kolorektalen Karzinomen	1663	adt
Symptomatik und endokrinologische Befunde bei catecholamin-sezernierenden Tumoren. Ergebnisse bei 106 konsekutiven Patienten	1721	or	Larson-Syndrom			LH-FSH-Quotient		
Kryoglobulinämie; Typ II			Larson-Syndrom	1584	mq	Differenzierung zwischen prä-maturer Thelarche und Pubertas praecox anhand klinischer, hormoneller und radiologischer Befunde	1301	or
Chronische Hepatitis C bei Typ-II-Kryoglobulinämie und kutaner Vaskulitis	1239	kas	Larva migrans cutanea			LHRH-Test		
Kryptorchismus			Larva migrans cutanea («creeping eruption»)	1505	mq	Differenzierung zwischen prä-maturer Thelarche und Pubertas praecox anhand klinischer, hormoneller und radiologischer Befunde	1301	or
Kallmann-Syndrom. Pathophysiologie und Klinik	1436	üb	Lavage; bronchoalveoläre			Lichtstrahlen		
Kupferstoffwechsel			Sputumuntersuchung zur Diagnostik der Pneumocystis-carinii-Pneumonie bei HIV-Infizierten	1151	or	Risiken der Sonnenexposition	1047	üb
Hämolytische Krise mit Leberversagen als Erstmanifestation eines Morbus Wilson	1421	kas	LDL-Apherese			Linksherzinsuffizienz		
Kyphoskoliose			Intensivtherapie des Guillain-Barré-Syndroms	1248	üb	Hypocalcämische Kardiomyopathie als Ursache einer schweren Linksherzinsuffizienz	1270	kas
Ventilatorische Insuffizienz und hyperkapnische Kompensation infolge chronisch belasteter »Atempumpe«. Physiologie, Pathophysiologie und Therapie	1209	üb	Lebensmittelverunreinigungen			Hypocalcämische Kardiomyopathie als Ursache einer schweren Linksherzinsuffizienz (Berichtigung)	1414	
			Bleiintoxikation durch Mennige in Paprikapulver	1756	lz	Lipidsenker		
L			Lebertransplantation			Gallenblasen-Sludge und Einnahme von Lipidsenkern	1524	fr
Laboratoriumsmedizin			Hämolytische Krise mit Leberversagen als Erstmanifestation eines Morbus Wilson	1421	kas	Hypercholesterinämie	1099	fr
Die erhöhte Gamma-GT (Gamma-Glutamyltransferase). Ursachen und Interpretationen	1041	adt	Therapie des Aszites bei Lebererkrankungen	1549	adt	Lipom; intragastrales		
Klinische Bedeutung der Polymerase-Kettenreaktion in der Infektiologie	1625	adt	Lebervenenverschußdruck			Lipom mit zentraler Ulzeration und Blutung	1547	mq
Persistierende Antistreptolysin-Titer	1099	fr	Lebervenenverschußdruckmessung	1245	adt	Liposomen		
Sputumuntersuchung zur Diagnostik der Pneumocystis-carinii-Pneumonie bei HIV-Infizierten	1151	or	Leberversagen; akutes			Behandlung der Neurodermitis mit Liposomen?	1219	fr
			Hämolytische Krise mit Leberversagen als Erstmanifestation eines Morbus Wilson	1421	kas	Liquorzirkulationsstörungen		
			Leberzellkarzinom			Syringomyelie als seltene Ursache einer beatmungspflichtigen respiratorischen Insuffizienz	1771	kas
			Epidemiologie und Klinik der chronischen Virushepatitis	1365	üb			
			Lecithin-Cholesterin-Acyltransferase					
			Fischaugenkrankheit	1393	kas			
			Lehre; medizinische					
			Welches Menschenbild formt zukünftige Ärztinnen und Ärzte an der Universität?	1131	kom			

Meningitis Präsakrale Phlegmone und Meningitis als Komplikationen eines Fremdkörpers im Rektosigmoid	990	kas	Mischtumor; der Haut Sogenannter Mischtumor der Haut (chondroides Syndrom)	1471	mq	Morbus haemolyticus neonatorum Neonatale Alloimmunthrombozytopenie	1512	üb
Mennige Bleiintoxikation durch Mennige in Paprikapulver	1756	lz	Mitralinsuffizienz; akute Akute Mitralinsuffizienz bei Osteogenesis imperfecta	1101	lz	Morbus Köhlmeier-Dégos Maligne atrophische Papulose	1427	kas
Mesenterialarterienstenosen Chronische mesenteriale Ischämie	979	or	Notfallmäßige perkutane Mitralvalvuloplastie mit dem Inoue-Ballon bei hochgradiger Mitralstenose und kardiogenem Schock	1110	kas	Morbus Paget Ostitis deformans (Morbus Paget)	1122	mq
Metajodbenzylguanidinszintigraphie Symptomatik und endokrinologische Befunde bei katecholamin-sezernierenden Tumoren. Ergebnisse bei 106 konsekutiven Patienten	1721	or	Mitralklappenprolaps Akute Mitralinsuffizienz bei Osteogenesis imperfecta	1101	lz	Morbus Parkinson Bromocriptin-induzierte Pleuropneumopathie	1543	kas
Metal-Clip Clip-Wanderung in den Ductus choledochus nach laparoskopischer Cholezystektomie	1506	mq	Zerebraler ischämischer Insult. Wertigkeit der transösophagealen Echokardiographie in der Diagnostik kardialer Emboliequellen	1585	adt	Morbus Waldenström Langzeitbeobachtung bei lymphoplasmozytoiden Immunozytomen	1487	lz
Methotrexat Leukenzephalopathie nach intrathekaler Zytostatikagabe bei akuter lymphatischer Leukämie	1637	fr	Mitralstenose Notfallmäßige perkutane Mitralvalvuloplastie mit dem Inoue-Ballon bei hochgradiger Mitralstenose und kardiogenem Schock	1110	kas	Morbus Whipple Nachweis von Tropheryma whippelii mit der Polymerase-Kettenreaktion vor und nach Therapie eines Morbus Whipple	1679	lz
Methylprednisolon Problematik des Äquivalenzbegriffes bei der Therapie mit Glucocorticoiden. Ein Vergleich der klinischen Pharmakokinetik und Pharmakodynamik von Prednisolon und Methylprednisolon	1671	üb	Mitralvalvuloplastie Notfallmäßige perkutane Mitralvalvuloplastie mit dem Inoue-Ballon bei hochgradiger Mitralstenose und kardiogenem Schock	1110	kas	Morbus Wilson Hämolytische Krise mit Lebersversagen als Erstmanifestation eines Morbus Wilson	1421	kas
Microsporon canis Tinea capitis durch Microsporon canis	1357	mq	Mißbildungen; konnatale Kongenital korrigierte Transposition der großen Arterien im Erwachsenenalter. Wert nicht-invasiver Untersuchungsmethoden	1156	kas	Morphometrie Diagnostik des Osteoporoserisikos. Neue Entwicklungen und »State of the Art« 1994	1289	üb
Migräne Fibromyalgie-Syndrom	1639	lz	Prader-Labhart-Willi-Syndrom	974	fr	Mucosa-Associated Lymphatic Tissue Ist die Ulcuskrankheit eine Infektionskrankheit?	1488	km
Mikroalbuminämie Angiotensin-Converting-Enzym-Hemmer bei der Behandlung der diabetischen Nephropathie	1298	km	Molekulargenetik Prader-Labhart-Willi-Syndrom	974	fr	Muir-Torre-Syndrom Endoskopische Diagnostik zur Prävention und Früherkennung des kolorektalen Karzinoms	1001	adt
Mikrozirkulation; koronare Angina pectoris und normales Koronarangiogramm bei arterieller Hypertonie und linksventrikulärer Hypertrophie	1175	üb	Morbus Basedow Jodprophylaxe in der Schwangerschaft	1339	la	Mukoviszidose Zystische Fibrose	1259	lz
Miktionsstörungen Aktuelle Epidemiologie, Diagnostik und Therapie der Urogenitaltuberkulose	1121	adt	Neonatale Hyperthyreose bei nicht diagnostiziertem Morbus Basedow der Mutter. Probleme der Diagnostik und Therapie anhand einer Kasuistik	1346	kas	Multiple Sklerose Therapie der multiplen Sklerose	1371	fr
Minderwuchs Diagnose eines Ullrich-Turner-Syndroms im Rentengutachten	1115	kas	Morbus Crohn Diättherapie des Morbus Crohn	1140	km	Muskelatrophie Neurologische Symptomatik, Diagnostik und Therapie des sogenannten »thoracic-outlet-syndrome«	1087	üb
Minimal Invasive Surgery (siehe Operationen; endoskopische)			Endoskopische Ballondilatation symptomatischer Strikturen bei Morbus Crohn	1377	or	Muskelphysiologie Hermann von Helmholtz (1821-1894) – Militärarzt, Sinnesphysiologe und »Reichskanzler der deutschen Physik«. Zum 100. Todestag des universalen Arztes und Naturforschers	1215	mg
Minor Access Surgery (siehe Operationen; endoskopische)			Hochgradige Sigmastenose bei Rezidiv eines Morbus Crohn	1624	mq	Muskelschmerzen (siehe Myalgien)		
			Luft in der Blase durch Fistelverbindung zum Darm	1472	mq	Müdigkeit Müdigkeit und psychologischer Streß	1451	km
			Morbus Down (siehe Trisomie 21)					
			Morbus Fabry Angiokeratoma corporis diffusum	1281	mq			

Operieren; ambulantes									
Ambulante Kataraktoperationen	1486	fr	Ösophagusvarizen	1443	kom	Papulose; maligne atrophische			
			Endoskopische Therapie der Ösophagusvarizenblutung	959	mq	Maligne atrophische Papulose	1427	kas	
			Fundusvarizen			Paraganglien			
Osteodensitometrie						Symptomatik und endokrinologische Befunde bei katecholamin-sezernierenden Tumoren. Ergebnisse bei 106 konsekutiven Patienten	1721	or	
Diagnostik des Osteoporosersikosis. Neue Entwicklungen und »State of the Art« 1994	1289	üb				Paraneoplasien			
Einfluß einer niedrigdosierten Hydrochlorothiazidtherapie auf den Knochenmineralgehalt des axialen und peripheren Skeletts	1645	or	P			(siehe Syndrom; paraneoplastisches)			
			PAI-1			Parasitosen			
			(siehe Fibrinolyse)			Gnathostomiasis nach Aufenthalt in Thailand	1618	kas	
Osteomyelitis			Palliation			Larva migrans cutanea (»creeping eruption«)	1505	mq	
Lumbale Spondylodiszitis durch Salmonella enteritidis	1383	kas	Derzeitiger Stellenwert der Laparoskopie in der onkologischen Chirurgie	1518	kom	Paresen; schlaffe			
			Endoskopische transthorakale Sympathektomie bei paraneoplastischem Raynaud-Syndrom	1162	kas	Intensivtherapie des Guillain-Barré-Syndroms	1248	üb	
Osteopathien			Pankreasabszeß			PBM			
Ostitis deformans (Morbus Paget)	1122	mq	Therapie der akuten Pankreatitis	1739	adt	(siehe Peak-Bone-Mass)			
Osteoporose			Pankreas-Duodenum-Nieren-Transplantation; simultane			Peak-Bone-Mass			
Diagnose eines Ullrich-Turner-Syndroms im Rentengutachten	1115	kas	Kombinierte Nieren- und Pankreastransplantation beim diabetischen Spätsyndrom	1399	adt	Osteoporose bei Männern. Pathogenese und klinische Einteilung bei 254 Fällen	943	or	
Diagnostik des Osteoporosersikosis. Neue Entwicklungen und »State of the Art« 1994	1289	üb	Pankreasinsuffizienz			Pentamidin			
Einfluß einer niedrigdosierten Hydrochlorothiazidtherapie auf den Knochenmineralgehalt des axialen und peripheren Skeletts	1645	or	Zystische Fibrose	1259	lz	Therapie kutaner und mukokutaner Leishmaniosen	1169	adt	
Osteoporose bei Männern. Pathogenese und klinische Einteilung bei 254 Fällen	943	or	Pankreaskarzinom			Persönlichkeitsveränderungen			
Vitamin D und Osteoporose. Pathogenese – Therapie	1479	üb	Pankreaskopfkarzinom mit Stenosen der Ductus pancreaticus et choledochus	1168	mq	Neuropsychiatrische Symptomatik bei primärem Hyperparathyreoidismus	1076	kas	
Ovarialzysten			Pyloruserhaltung – »a never ending story«	1372	lz	Pest			
Differenzierung zwischen prä-maturer Thelarche und Pubertas praecox anhand klinischer, hormoneller und radiologischer Befunde	1301	or	Pankreaspseudozyste			Indikationen zur Pestimpfung und -chemoprophylaxe	1714	fr	
			ERCP bei bekannter Pankreaspseudozyste	1755	fr	Peutz-Jeghers-Syndrom			
Ozon			Therapie der akuten Pankreatitis	1739	adt	Endoskopische Diagnostik zur Prävention und Früherkennung des kolorektalen Karzinoms	1001	adt	
Risiken der Sonnenexposition	1047	üb	Pankreastransplantation			Invagination bei Peutz-Jeghers-Syndrom	960	mq	
Ösophagitis			Kombinierte Nieren- und Pankreastransplantation beim diabetischen Spätsyndrom	1399	adt	Pflege-Personalregelung			
Diagnostik der gastroösophagealen Refluxkrankheit	1433	adt	Pankreatitis			ICD-Verschlüsselung und Pflege-Personalregelung	1412	lz	
Therapie der gastroösophagealen Refluxkrankheit	1473	adt	Akute Hämolyse mit nachfolgender lebensbedrohlicher Pankreatitis bei Hämodialyse. Eine Komplikation, die von den derzeitigen Dialysegeräten nicht verhindert wird	1263	or	Pfortaderdruck			
Ösophagitis-Klassifikation			Therapie der akuten Pankreatitis	1739	adt	Lebervenenverschußdruckmessung	1245	adt	
Therapie der gastroösophagealen Refluxkrankheit	1473	adt	Panzytopenie			Pharmakodynamik			
Ösophaguskarzinom			Schwere Panzytopenie im hohen Lebensalter nach zwölfmonatiger ACE-Hemmer-Therapie	1029	kas	Problematik des Äquivalenzbegriffes bei der Therapie mit Glucocorticoiden. Ein Vergleich der klinischen Pharmakokinetik und Pharmakodynamik von Prednisolon und Methylprednisolon	1671	üb	
Ösophaguskarzinom	1781	mq	Paprikapulver						
Ösophagusmanometrie			Bleiintoxikation durch Mennige in Paprikapulver	1756	lz				
(siehe Manometrie; des Ösophagus)									
Ösophagusmotilität									
Diagnostik der gastroösophagealen Refluxkrankheit	1433	adt							

Rubrikenschlüssel

adt = Aktuelle Diagnostik und Therapie
 ar = Arztrecht
 as = Der Arzneistoff
 epi = Epikrise

fr = Fragen aus der Praxis
 gt = Gedenktage
 kas = Kasuistiken
 km = Kleine Mitteilungen
 kom = Kommentare

la = Leitartikel
 lz = Leser-Zuschriften
 mg = Medizingeschichte
 mq = Mediquiz
 nk = Nekrologe

or = Originalien
 pp = Prinzip & Perspektive
 stp = Standpunkte
 üb = Übersichten

Pharmakokinetik									
Problematik des Äquivalenzbegriffes bei der Therapie mit Glucocorticoiden. Ein Vergleich der klinischen Pharmakokinetik und Pharmakodynamik von Prednisolon und Methylprednisolon	1671	üb							
Phlebothrombosen									
Einsatz von niedermolekularem Heparin zur Antikoagulation in der Schwangerschaft	1497	kas							
Östrogenantagonisten und Thromboseprophylaxe	1182	fr							
Tiefe Venenthrombose und okkulte, maligne Neoplasien	1719	km							
Phlegmone; präsakrale									
Präsakrale Phlegmone und Meningitis als Komplikationen eines Fremdkörpers im Rektosigmoid	990	kas							
Phosphatase; alkalische									
Hämolytische Krise mit Leberversagen als Erstmanifestation eines Morbus Wilson	1421	kas							
Phospholipase C									
Rolle von Endothelin bei den Ciclosporin-Nebenwirkungen Nephrotoxizität und arterielle Hypertonie	1706	üb							
Phosphorsäureester									
Serum-Cholinesterase	1016	fr							
Photosensibilisierung (siehe Therapie; photodynamische)									
Physiotherapie									
Zystische Fibrose	1259	lz							
Pigmentanomalie									
Interdisziplinäre Aspekte der Notalgia paraesthetica	1307	kas							
Plasmapherese (siehe Plasmaseparation)									
Plasmaseparation									
Intensivtherapie des Guillain-Barré-Syndroms	1248	üb							
Plasminogenaktivator (siehe Fibrinolyse)									
Plasmozytom									
Generalisiertes IgG-Lambda-Plasmozytom und Stenose eines Cimino-Shunts durch plasmazelluläre Infiltration	1694	kas							
Pleuraerguß									
Bromocriptin-induzierte Pleuropneumopathie	1543	kas							
Pleuramesotheliom; malignes									
Asbest-induzierte Erkrankungen der Lunge und Pleura	1603	lz							
Pleuritis									
Bromocriptin-induzierte Pleuropneumopathie	1543	kas							
Plexus brachialis									
Neurologische Symptomatik, Diagnostik und Therapie des sogenannten »thoracic-outlet-syndrome«	1087	üb							
Pneumocystis-carinii-Pneumonie									
Sputumuntersuchung zur Diagnostik der Pneumocystis-carinii-Pneumonie bei HIV-Infizierten	1151	or							
Pneumologie; interventionelle									
Methoden der interventionellen Pneumologie	1083	adt							
Pneumonie									
»Bronchiolitis obliterans organizing pneumonia« mit akuter respiratorischer Insuffizienz	1312	kas							
Churg-Strauss-Syndrom oder chronische eosinophile Pneumonie?	1565	lz							
Isolierung von Chlamydia pneumoniae bei atypischer Pneumonie	1462	kas							
Polyangiitis; mikroskopische									
Einseitige diffuse Lungenbeteiligung bei Vaskulitis mit Anti-Neutrophilen-Zytoplasma-Antikörpern sowie Antikörpern gegen glomeruläre Basalmembranen	1071	kas							
Polymerase-Kettenreaktion									
Klinische Bedeutung der Polymerase-Kettenreaktion in der Infektiologie	1625	adt							
Nachweis von Tropheryma whippelii mit der Polymerase-Kettenreaktion vor und nach Therapie eines Morbus Whipple	1679	lz							
Polymorphismus; genetischer									
Neonatale Alloimmunthrombozytopenie	1512	üb							
Polymyalgia rheumatica									
Heiserkeit bei Polymyalgia rheumatica	1566	lz							
Polyneuritis									
Polyneuritis und Myositis bei Trypanosoma-gambiense-Infektion	1690	kas							
Polyneuropathie; neoplastische									
Autoimmunprozesse als paraneoplastische Manifestationen bei familiärem Mammakarzinom	1194	kas							
Polyposis; intestinalis									
Endoskopische Diagnostik zur Prävention und Früherkennung des kolorektalen Karzinoms	1001	adt							
Invagination bei Peutz-Jeghers-Syndrom	960	mq							
Polyradikulitis									
Intensivtherapie des Guillain-Barré-Syndroms	1248	üb							
Polysaccharide; proteingebundene									
Adjuvante Chemotherapie nach kurativer Gastrektomie bei Magenkarzinom	1298	km							
Polysomnographie									
Morbidität und Letalität bei Schlafapnoe und nächtlichen Bradyarrhythmien	1187	or							
Posttransplant Lymphoproliferative Disorders									
Differentialdiagnose von Rundherden nach Lungentransplantation	1105	or							
Prader-Labhart-Willi-Syndrom									
Prader-Labhart-Willi-Syndrom	974	fr							
Präexzitationssyndrom									
Klinische Bedeutung des Ajmalin-Tests in der nicht-invasiven Diagnostik bei Wolff-Parkinson-White-Syndrom	985	or							
Präkanzerosen									
Schistosomiasis und Siegelringzellkarzinom der Ileo-zökalklappe	1058	lz							
Prävention									
Akzidentelle Nadelstichverletzung bei medizinischem Pflegepersonal	1563	fr							
Antioxidantien	1135	fr							
Cholesterin-Normalwerte im Kindesalter	1371	fr							
Endoskopische Diagnostik zur Prävention und Früherkennung des kolorektalen Karzinoms	1001	adt							
HIV-Übertragung bei heterosexuellen Partnern	1805	km							
Indikationen zur Pestimpfung und -chemoprophylaxe	1714	fr							
Infektionsprophylaxe bei Dauerverweilkanülen	1017	fr							
Ist die Neurodermitis eine Krankheit der höheren sozialen Schichten?	1757	km							
Risiken der Sonnenexposition Solare Keratose und Sonnenschutzmittel	1047	üb							
1223 km									
Vitamin D und Osteoporose. Pathogenese - Therapie	1479	üb							
Prednisolon									
Problematik des Äquivalenzbegriffes bei der Therapie mit Glucocorticoiden. Ein Vergleich der klinischen Pharmakokinetik und Pharmakodynamik von Prednisolon und Methylprednisolon	1671	üb							
Processus-transversus-Anomalien									
Neurologische Symptomatik, Diagnostik und Therapie des sogenannten »thoracic-outlet-syndrome«	1087	üb							

Progesterondermatitis	1258	fr	Proteinurie	1298	km	Pulmonalarteriendruck	1061	or
Autoimmune Progesterondermatitis			Angiotensin-Converting-Enzym-Hemmer bei der Behandlung der diabetischen Nephropathie			Dopplerechokardiographie bei chronischer rechtsventrikulärer Druckbelastung		
Prognosedeterminanten			Prothesenhüllendefekt; bei Mammaprothesen	1453	or	Pylorusstenose	1244	mq
Adjuvante Therapie bei kolorektalen Karzinomen	1663	adt	Kernspintomographie bei Mammaprothesen. Aussagekraft im Vergleich mit Mammographie und Ultraschall					
Derzeitiger Stellenwert der Laparoskopie in der onkologischen Chirurgie	1518	kom	Prothrombinfragment F₁₊₂	1100	fr	Q		
Rekanalisation langstreckiger Arteria-femoralis-Verschlüsse	1802	lz	Orale Kontrazeption bei Protein-C-Mangel			QT-Syndrom; idiopathisches	1204	mq
Tumorgefäßinvasion beim Mammakarzinom. Hämatoxilin-Eosin- versus immunhistochemische Färbung gegen Faktor-VIII-Antigen	1491	or	Protonenpumpenhemmer	1173	as	Idiopathisches QT-Syndrom (Romano-Ward-Syndrom)		
Prokinetika			Omeprazol	1473	adt	Qualitätskontrolle	1056	lz
Therapie der gastroösophagealen Refluxkrankheit	1473	adt	Therapie der gastroösophagealen Refluxkrankheit			Ambulante Versorgung von Diabetikern		
Proktologie			Pruritus	1307	kas	Qualitätssicherung	1412	lz
Diagnostik und Therapie des Analkarzinoms	1701	adt	Interdisziplinäre Aspekte der Notalgia paraesthetica			ICD-Verschlüsselung und Pflege-Personalregelung	1532	or
Promyelozytenleukämie; akute			PSA			Kostenvergleich zwischen der laparoskopischen Cholezystektomie und der extrakorporalen Stoßwellenlithotripsie in der Behandlung von Gallenblasensteinen		
Komplette Remission bei akuter Promyelozytenleukämie. Vorteile von <i>all-trans</i> -Retinsäure im Vergleich mit konventioneller Chemotherapie	1143	or	(siehe Antigen; Prostataspezifisches)			Quick-Wert	1529	la
Prophylaxe			Pseudoallergie	1728	kas	Ist die »International Normalized Ratio (INR)« in der klinischen Praxis unentbehrlich?		
Epidemiologie und Klinik der chronischen Virushepatitis	1365	üb	Unverträglichkeit der Tuberkulosetherapie bei AIDS			R		
Indikationen zur Pestimpfung und -chemoprophylaxe	1714	fr	Pseudohypoparathyreoidismus	1270	kas	Radikale; freie	1135	fr
Prostaglandinstoffwechsel			Hypocalcämische Kardiomyopathie als Ursache einer schweren Linksherzinsuffizienz	1414		Antioxidantien	1745	pp
Erythromelalgie (Erythrothermalgie)	1039	mq	Hypocalcämische Kardiomyopathie als Ursache einer schweren Linksherzinsuffizienz (Berichtigung)			Pathophysiologie der Myokarddurchblutung. Teil II: Postischämische kontraktile Dysfunktion (»stunned«-Myokard)		
Prostatakarzinom			Psoriasis	1126	üb	Radiochemotherapie	1663	adt
Prostatakarzinom	1054	lz	Harnstoff in der Dermatologie			Adjuvante Therapie bei kolorektalen Karzinomen	1701	adt
Prostatitis			Psychosen	1076	kas	Diagnostik und Therapie des Analkarzinoms		
Aktuelle Epidemiologie, Diagnostik und Therapie der Urogenitaltuberkulose	1121	adt	Neuropsychiatrische Symptomatik bei primärem Hyperparathyreoidismus			Radiotherapie; bei malignen Tumoren	1054	lz
Protein C; aktiviertes			Psychosomatik	1283	adt	Prostatakarzinom		
Resistenz gegenüber aktiviertem Protein C	1680	km	Erfassung von Angst und Depressivität in der medizinischen Routineversorgung			Rashkind-Okkluder	1341	or
Protein-C-Mangel			Pubarche	1301	or	Nicht-operativer Verschluss des Vorhofseptumdefektes bei Erwachsenen. Erfahrungen mit dem Rashkind- und dem Sideris-Okkluder		
Orale Kontrazeption bei Protein-C-Mangel	1100	fr	Differenzierung zwischen prä-maturer Thelarche und Pubertas praecox anhand klinischer, hormoneller und radiologischer Befunde			Raynaud-Syndrom; sekundäres	1162	kas
Proteinkinase			Pubertas praecox	1301	or	Endoskopische transthorakale Sympathektomie bei paraneoplastischem Raynaud-Syndrom		
Rolle von Endothelin bei den Ciclosporin-Nebenwirkungen Nephrotoxizität und arterielle Hypertonie	1706	üb	Differenzierung zwischen prä-maturer Thelarche und Pubertas praecox anhand klinischer, hormoneller und radiologischer Befunde					

Rubrikenschlüssel

adt = Aktuelle Diagnostik und Therapie
 ar = Arztrecht
 as = Der Arzneistoff
 epi = Epikrise

fr = Fragen aus der Praxis
 gt = Gedenktage
 kas = Kasuistiken
 km = Kleine Mitteilungen
 kom = Kommentare

la = Leitartikel
 lz = Leser-Zuschriften
 mg = Medizingeschichte
 mq = Mediquiz
 nk = Nekrologe

or = Originalien
 pp = Prinzip & Perspektive
 stp = Standpunkte
 üb = Übersichten

Rechtsherzbelastung			Rhythmus; idioventrikulärer		Rückenschmerzen	
Dopplerechokardiographie bei chronischer rechtsventrikulärer Druckbelastung	1061	or	Idioventrikulärer Rhythmus	1432	Lumbale Spondylodiszitis durch Salmonella enteritidis	1383 kas
Rechtsmedizin			Risikofaktoren			
Geschäftsfähigkeit bei hohem Blutalkoholspiegel	1602	fr	Akute Myokardischämie, ventrikuläre Tachyarrhythmien und plötzlicher Herztod	1786		
Recurrensparese			Risikofaktoren		S	
Heiserkeit bei Polymyalgia rheumatica	1566	lz	Carotiswandveränderungen bei jungen Typ-I-Diabetikern. Ultraschalldiagnostik der frühen Arteriosklerose	1225	Salbutamol	
Refluxkrankheit			Cholesterin und koronare Herzkrankheit	1059	Regelmäßige Asthma-Therapie mit β -Sympathikomimetika	1020 km
Diagnostik der gastroösophagealen Refluxkrankheit	1433	adt	Einfluß spontan niedriger und diätetisch-medikamentös gesenkter Cholesterinspiegel auf nicht-kardiovaskuläre Todesursachen	1597	Salmonellosen	
Therapie der gastroösophagealen Refluxkrankheit	1473	adt	Einsatz von niedermolekularem Heparin zur Antikoagulation in der Schwangerschaft	1497	Idiopathische CD4-Lymphozytopenie mit letaler Salmonella-typhimurium-Sepsis	956 kas
Rekanalisation; bei Koronarverschlüssen			Epidemiologie und Klinik der chronischen Virushepatitis	1365	Lumbale Spondylodiszitis durch Salmonella enteritidis	1383 kas
Wiedereröffnung chronischer Koronararterienverschlüsse: Welche Faktoren beeinflussen den Erfolg?	1766	or	Fettarme Diät und körperliches Training bei koronarer Herzkrankheit	1017	Sarkoidose; der Leber	
Rekanalisation; peripherer Arterienverschlüsse			Fischaugenkrankheit	1393	Sarkoidose der Leber (Morbus Boeck)	1397 mq
Rekanalisation langstreckiger Arteria-femoralis-Verschlüsse	1802	lz	Gerbstoffe und Krebsrisiko	1411	Schädelverletzungen	
Rektumfremdkörper			Hodenkrebsrisiko nach Vasektomie	1757	Schutzhelme für radfahrende Kinder	1021 km
Präsakrale Phlegmone und Meningitis als Komplikationen eines Fremdkörpers im Rektosigmoid	990	kas	Hohe Letalität von Tetanusinfektionen nach intramuskulärer Injektion von Chinin	1681	Schilddrüsenkarzinom	
Renin-Angiotensin-System			Hypocholesterinämie	1677	Jodinduzierte Hyperthyreose bei metastasiertem Schilddrüsenkarzinom	1573 kas
Renin-Angiotensin-System und Blutdruckregulation	965	pp	Ist die Neurodermitis eine Krankheit der höheren sozialen Schichten?	1757	Schilddrüsenkarzinom	1737 mq
Re-Okklusion; von Koronarverschlüssen			Morbidität und Letalität bei Schlafapnoe und nächtlichen Bradyarrhythmien	1187	Schirmer-Test	
Wiedereröffnung chronischer Koronararterienverschlüsse: Welche Faktoren beeinflussen den Erfolg?	1766	or	Orale Kontrazeption bei Protein-C-Mangel	1100	Sicca-Symptomatik unter systemischer Therapie mit Beta-Rezeptorenblockern	1783 adt
Reperfusion			Osteoporose bei Männern. Pathogenese und klinische Einteilung bei 254 Fällen	943	Schistosomiasis	
Pathophysiologie der Myokarddurchblutung. Teil II: Postischämische kontraktile Dysfunktion (»stunned«-Myokard)	1745	pp	Risikofaktoren für gastrointestinale Blutungen bei Patienten der Intensivstation	1337	Schistosomiasis und Siegelringzellkarzinom der Ileozökalklappe	1058 lz
Restless legs			Solare Keratose und Sonnenschutzmittel	1223	Schlafmedizin	
Fibromyalgie-Syndrom	1639	lz	Tiefe Venenthrombose und okkulte, maligne Neoplasien	1719	Ambulante Behandlung von Schlafstörungen im Alter	1538 or
Retinopathie; diabetische			Risikofaktoren; psychosoziale		Morbidität und Letalität bei Schlafapnoe und nächtlichen Bradyarrhythmien	1187 or
Ambulante Versorgung von Diabetikern	1056	lz	Elterliche Vernachlässigung in der Kindheit und Adipositas im frühen Erwachsenenalter	1103	Schlaganfall (siehe Insult; zerebraler)	
Intensivierte Behandlung des Diabetes mellitus Typ I und Entwicklung von Spätkomplikationen	976	km	Risikoindikatoren		Schmerztherapie	
Revaskularisation			Fettarme Diät und körperliches Training bei koronarer Herzkrankheit	1017	Endoskopische transthorakale Sympathektomie bei paraneoplastischem Raynaud-Syndrom	1162 kas
Chronische mesenteriale Ischämie	979	or	Rodbell, Martin		Schmerzbehandlung bei ambulanten Patienten mit metastasierendem Karzinom	1223 km
Rhabdomyolyse			Nobelpreis für Medizin 1994	1792	Schock	
Akutes myoglobinurisches Nierenversagen als Folge von autoaggressivem Verhalten bei Oligophrenie	994	kas	Rundherde; pulmonale		Schock und Gerinnungsstörungen bei systemischer Mastozytose	1231 kas
Rhabdomyosarkom			Differentialdiagnose von Rundherden nach Lungentransplantation	1105	Schwangerschaft	
Pleomorphes Rhabdomyosarkom	1243	mq			Calcitriol-Gabe in der Schwangerschaft bei partieller DiGeorge-Anomalie	1776 kas
					Einsatz von niedermolekularem Heparin zur Antikoagulation in der Schwangerschaft	1497 kas
					Jodprophylaxe in der Schwangerschaft	1339 la

Spiralcomputertomographie

Direkter Embolusnachweis durch Spiral-Computertomographie bei akuter Lungenembolie 1525 lz

Spondylodiszitis

Lumbale Spondylodiszitis durch Salmonella enteritidis 1383 kas

Sputumdiagnostik

Sputumuntersuchung zur Diagnostik der Pneumocystis-carinii-Pneumonie bei HIV-Infizierten 1151 or

Staging

(siehe Tumor-Staging)

Stammganglienverkalkungen

Calcitriol-Gabe in der Schwangerschaft bei partieller DiGeorge-Anomalie 1776 kas

Standby-Medikamente

Indikationen zur Pestimpfung und -chemoprophylaxe 1714 fr

Staroperation

Ambulante Kataraktoperationen 1486 fr

Statistisches Bundesamt; Mitteilungen

Kindersitz im Personenwagen bewährt sich 976 km
Tuberkuloseerkrankungen 1993 1185 km

Stellatumblockade

Endoskopische transthorakale Sympathektomie bei paraneoplastischem Raynaud-Syndrom 1162 kas

Stickstoffmonoxid

Gesteigerte vaskuläre Sensitivität auf Nitroglycerin bei Patienten mit Hypercholesterinämie und peripherer Endotheldysfunktion 1065 or

Stickstoffmonoxid-Synthase

Induktion der Stickstoffmonoxid(NO)-Synthase 1413 km

Stoßwellenlithotripsie; Extrakorporale

Kostenvergleich zwischen der laparoskopischen Cholezystektomie und der extrakorporalen Stoßwellenlithotripsie in der Behandlung von Gallenblasensteinen 1532 or

Strahlenbelastung

Britische Atomwaffentests der fünfziger und sechziger Jahre 1413 km

Streptokinase

(siehe Fibrinolyse)

Streptokokken; hämolysierende

Nehmen Infektionen durch hämolysierende Streptokokken der Gruppe A zu? 1336 lz

Streptolysin O

Persistierende Antistreptolysin-Titer 1099 fr

Streß; psychologischer

Müdigkeit und psychologischer Streß 1451 km

Struma multinodosa

Farbdopplersonographisch gesteuerte perkutane Alkoholinjektion zur Therapie der funktionellen Schilddrüsenautonomie 1607 or

Stunned Myokard

Pathophysiologie der Myokarddurchblutung. Teil II: Postischämische kontraktile Dysfunktion (»stunned«-Myokard) 1745 pp

Subarachnoidalblutungen

Subarachnoidalblutung 1322 mq

Sulcus-ulnaris-Syndrom

Neurologische Symptomatik, Diagnostik und Therapie des sogenannten »thoracic-outlet-syndrome« 1087 üb

Suramin

Polyneuritis und Myositis bei Trypanosoma-gambiense-Infektion 1690 kas

Sympathektomie

Endoskopische transthorakale Sympathektomie bei paraneoplastischem Raynaud-Syndrom 1162 kas

Syndrom; hepatorenales

Therapie des Aszites bei Lebererkrankungen 1549 adt

Syndrom; paraneoplastisches

Autoimmunprozesse als paraneoplastische Manifestationen bei familiärem Mammakarzinom 1194 kas

Das extrapulmonale kleinzellige Karzinom – eine Rarität? 1591 üb

Endoskopische transthorakale Sympathektomie bei paraneoplastischem Raynaud-Syndrom 1162 kas

Hyponatriämisches Koma 1139 lz

Syndrome

Diagnose eines Ullrich-Turner-Syndroms im Rentengutachten 1115 kas

Kallmann-Syndrom. Pathophysiologie und Klinik 1436 üb

Syndrome; neurokutane

Interdisziplinäre Aspekte der Notalgia paraesthetica 1307 kas

Synkinesien

Kallmann-Syndrom. Pathophysiologie und Klinik 1436 üb

Synoviadiagnostik

Nachweis von Borrelia-burgdorferi-DNA in der Gelenkflüssigkeit bei Lyme-Arthritis 1451 km

Syngom; chondroides

Sogenannter Misch tumor der Haut (chondroides Syndrom) 1471 mq

Syngomyelie

Syngomyelie als seltene Ursache einer beatmungspflichtigen respiratorischen Insuffizienz 1771 kas

T**Takayasu-Arteriitis**

Takayasu-Arteriitis 1801 fr

Tamoxifen

Östrogenantagonisten und Thromboseprophylaxe 1182 fr

Tannine

Gerbstoffe und Krebsrisiko 1411 fr

Tastkörperchen-Neurom

Digitales Tastkörperchen-Neurom 999 mq

Teekonsum

Gerbstoffe und Krebsrisiko 1411 fr

Template-Technik

Diagnostik und Therapie des Analkarzinoms 1701 adt

Teratogenität

Windpocken in der ersten Schwangerschaftshälfte 1527 km

Tests; psychometrische

Erfassung von Angst und Depressivität in der medizinischen Routineversorgung 1283 adt

Tetanus

Hohe Letalität von Tetanusinfektionen nach intramuskulärer Injektion von Chinin 1681 km

Thelarche; prämatüre

Differenzierung zwischen prämatürer Thelarche und Pubertas praecox anhand klinischer, hormoneller und radiologischer Befunde 1301 or

Thenaratrophy

Neurologische Symptomatik, Diagnostik und Therapie des sogenannten »thoracic-outlet-syndrome« 1087 üb

Therapie; photodynamische

Photodynamische Therapie eines Magenstumpfkarcinoms in kurativer Absicht. Erster Fallbericht einer klinischen Anwendung in Deutschland 951 kas

Thiazid

Einfluß einer niedrigdosierten Hydrochlorothiazidtherapie auf den Knochenmineralgehalt des axialen und peripheren Skeletts 1645 or

Thoracic-outlet-syndrome Neurologische Symptomatik, Diagnostik und Therapie des sogenannten »thoracic-outlet-syndrome«	1087	üb	Thrombozytopenie Neonatale Alloimmunthrombozytopenie	1512	üb	Tranquillizer Ambulante Behandlung von Schlafstörungen im Alter	1538	or
Thorakoskopie Methoden der interventionellen Pneumologie	1083	adt	Reversible Thrombozytopenie bei Digitoxinüberdosierung	1734	kas	Transcortin Problematik des Äquivalenzbegriffes bei der Therapie mit Glucocorticoiden. Ein Vergleich der klinischen Pharmakokinetik und Pharmakodynamik von Prednisolon und Methylprednisolon	1671	üb
Thoraxchirurgie; minimal-invasive Methoden der interventionellen Pneumologie	1083	adt	Thymushypoplasie Calcitriol-Gabe in der Schwangerschaft bei partieller DiGeorge-Anomalie	1776	kas	Transferrin Eisenmangelanämie	1403	pp
Thoraxschmerzen Akute Aortendissektion. Diagnose durch transthorakale Echokardiographie	1297	lz	Thyreotoxikose (siehe Hyperthyreose)			Transfusion (siehe Hämotherapie)		
Klinische und koronarangiographische Befunde bei Frauen mit Thoraxschmerzen	1337	km	Thyreotropin Latente Hyperthyreose	1334	fr	Transkriptase; reverse Klinische Bedeutung der Polymerase-Kettenreaktion in der Infektiologie	1625	adt
Thromben; intrakardiale Spontaner Echokontrast im linken Ventrikel als Indikator für ein erhöhtes Thromboembolie-Risiko	1317	kas	Neonatale Hyperthyreose bei nicht diagnostiziertem Morbus Basedow der Mutter. Probleme der Diagnostik und Therapie anhand einer Kasuistik	1346	kas	Transplantation Aufbau der Deutschen Knochenmarkspenderdatei	1359	adt
Thromboembolien Einsatz von niedermolekularem Heparin zur Antikoagulation in der Schwangerschaft	1497	kas	Tinea capitis Tinea capitis durch Microsporon canis	1357	mq	Kombinierte Nieren- und Pankreastransplantation beim diabetischen Spätsyndrom	1399	adt
Schrittmachertherapie beim Syndrom des kranken Sinusknotens. Senken vorhofforbeteiligte Schrittmachersysteme die Häufigkeit von Vorhofflimmern und thromboembolischen Komplikationen sowie die Mortalität?	1683	or	Tiotropiumbromid Enzephalopathie nach Intoxikation mit einem Anticholinergikum	1803	lz	Psychosoziale Probleme bei Langzeitimmunsuppression nach Organtransplantation	1678	lz
Spontaner Echokontrast im linken Ventrikel als Indikator für ein erhöhtes Thromboembolie-Risiko	1317	kas	TIPS (siehe Shunt; transjugulärer intrahepatischer portosystemischer)			Sekundäre Neoplasien nach Immunsuppression	1747	üb
Thrombolysse (siehe Fibrinolyse)			Todesursachen Einfluß spontan niedriger und diätetisch-medikamentös gesenkter Cholesterinspiegel auf nicht-kardiovaskuläre Todesursachen	1597	kom	Transposition; kardialer Arterien Kongenital korrigierte Transposition der großen Arterien im Erwachsenenalter. Wert nicht-invasiver Untersuchungsmethoden	1156	kas
Thrombophilie Orale Kontrazeption bei Protein-C-Mangel	1100	fr	Torsade de pointes Sotalol	1477	as	Tränensekretion Sicca-Symptomatik unter systemischer Therapie mit Beta-Rezeptorenblockern	1783	adt
Thromboplastinzeit Ist die »International Normalized Ratio (INR)« in der klinischen Praxis unentbehrlich?	1529	la	Touristikmedizin Gnathostomiasis nach Aufenthalt in Thailand	1618	kas	Treitz-Hernie Möglichkeiten der laparoskopischen Therapie innerer Hernien. Darstellung an drei Fällen	1199	kas
Thrombosen; venöse Resistenz gegenüber aktiviertem Protein C	1680	km	Larva migrans cutanea (»creeping eruption«)	1505	mq	Tretinoin Komplette Remission bei akuter Promyelozytenleukämie. Vorteile von <i>all-trans</i> -Retinsäure im Vergleich mit konventioneller Chemotherapie	1143	or
Thromboseprophylaxe Östrogenantagonisten und Thromboseprophylaxe	1182	fr	Polyneuritis und Myositis bei Trypanosoma-gambiense-Infektion	1690	kas	Trinkwasserfluoridierung Akute Vergiftung durch fluoridiertes Trinkwasser	1185	km
Thrombozytensubstitution Rationale Substitution mit Blut- und Blutbestandteilkonserven	1555	üb	Therapie kutaner und mukokutaner Leishmaniosen	1169	adt	Tripel-Therapie Ist die Ulcuskrankheit eine Infektionskrankheit?	1488	km
			Toxoplasmose; konnatale Diagnostik und Therapie der konnatalen Toxoplasmose	1335	lz			
			Tracheobronchitis; akute Isolierung von Chlamydia pneumoniae bei atypischer Pneumonie	1462	kas			
			Training; körperliches Fettarme Diät und körperliches Training bei koronarer Herzkrankheit	1017	lz			

Rubrikenschlüssel

adt = Aktuelle Diagnostik und Therapie
ar = Arztrecht
as = Der Arzneistoff
epi = Epikrise

fr = Fragen aus der Praxis
gt = Gedenktage
kas = Kasuistiken
km = Kleine Mitteilungen
kom = Kommentare

la = Leitartikel
lz = Leser-Zuschriften
mg = Medizingeschichte
mq = Mediquiz
nk = Nekrologe

or = Originalien
pp = Prinzip & Perspektive
stp = Standpunkte
üb = Übersichten

Trisomie 21									
Indikation zur Amniozentese bei über 35jährigen Schwangeren aufgrund von Serummarkern	1413	km							
Tropenkrankheiten									
Schistosomiasis und Siegelringzellkarzinom der Ileo-zökalklappe	1058	lz							
Tropheryma whippelii									
Nachweis von Tropheryma whippelii mit der Polymerase-Kettenreaktion vor und nach Therapie eines Morbus Whipple	1679	lz							
Troponin									
Die klinische Bedeutung der Konzentrationsbestimmung der Troponine	1013	la							
Trypanosomiasis									
Polyneuritis und Myositis bei Trypanosoma-gambiense-Infektion	1690	kas							
TSH									
(siehe Thyreotropin)									
TSH-Rezeptor-Autoantikörper									
Neonatale Hyperthyreose bei nicht diagnostiziertem Morbus Basedow der Mutter. Probleme der Diagnostik und Therapie anhand einer Kasuistik	1346	kas							
Tuberkulin-Hauttests									
Aktuelle Epidemiologie, Diagnostik und Therapie der Urogenitaltuberkulose	1121	adt							
Tuberkulose									
Tuberkuloseerkrankungen 1993	1185	km							
Unverträglichkeit der Tuberkulosetherapie bei AIDS	1728	kas							
Tuberkulose; extrapulmonale									
Aktuelle Epidemiologie, Diagnostik und Therapie der Urogenitaltuberkulose	1121	adt							
Baker-Zyste bei osteoartikulärer Tuberkulose des Kniegelenks	1579	kas							
Baker-Zyste bei osteoartikulärer Tuberkulose des Kniegelenks (Berichtigung)	1806								
Endoskopische Diagnose einer Kolontuberkulose	1653	kas							
Ösophago-mediastinale Fisteln als seltene Komplikation der Tuberkulose bei einem HIV-infizierten Patienten	1613	kas							
Tuberkulostatika									
(siehe Antituberkulotika)									
Tumorantigene									
Das extrapulmonale kleinzellige Karzinom – eine Rarität?	1591	üb							
Tumorchirurgie									
Tumorverkleinerung im Stadium M1?	1564	fr							
Tumoren; an der Hand									
Differentialdiagnose knotiger Tumoren an der Hand	1101	lz							
Tumor-Gefäß-Interaktion									
Pathologie der Pulmonalarterien bei Lungentumoren	1415	or							
Tumorgefäßinvasion									
Tumorgefäßinvasion beim Mammakarzinom. Hämatoxylin-Eosin- versus immunhistochemische Färbung gegen Faktor-VIII-Antigen	1491	or							
Tumorschmerzen									
Schmerzbehandlung bei ambulanten Patienten mit metastasierendem Karzinom	1223	km							
Tumor-Staging									
Derzeitiger Stellenwert der Laparoskopie in der onkologischen Chirurgie	1518	kom							
Tumorverkleinerung									
Tumorverkleinerung im Stadium M1?	1564	fr							
Turner-Syndrom									
Diagnose eines Ullrich-Turner-Syndroms im Rentengutachten	1115	kas							
T-Zell-Lymphom; pleomorphes									
Hochmalignes peripheres T-Zell-Lymphom vom großzelligen polymorphen Typ	1321	mq							
U									
Ulcerkrankheit									
Ist die Ulcerkrankheit eine Infektionskrankheit?	1488	km							
Modifizierter ¹³ C-Atemtest in der Diagnostik der Helicobacter-pylori-Besiedlung der gastralen Mucosa	1569	or							
Omeprazol	1173	as							
Ullrich-Turner-Syndrom									
Diagnose eines Ullrich-Turner-Syndroms im Rentengutachten	1115	kas							
Ultraviolettstrahlung									
Risiken der Sonnenexposition	1047	üb							
Umweltschadstoffe									
(siehe Enviroentologie)									
Unfallverhütung									
Kindersitz im Personewagen bewährt sich	976	km							
Schutzhelme für radfahrende Kinder	1021	km							
Universal-Spenderblut									
Universal-Spenderblut	1019	lz							
Urease-Test									
Modifizierter ¹³ C-Atemtest in der Diagnostik der Helicobacter-pylori-Besiedlung der gastralen Mucosa	1569	or							
Urikostatikum									
Allopurinol	1045	as							
Urogenitaltuberkulose									
Aktuelle Epidemiologie, Diagnostik und Therapie der Urogenitaltuberkulose	1121	adt							
Überdruckbeatmung; kontinuierliche nasale									
Morbidität und Letalität bei Schlafapnoe und nächtlichen Bradyarrhythmien	1187	or							
Übergewicht									
(siehe Adipositas)									
V									
Varizella-Zoster-Virus									
Windpocken in der ersten Schwangerschaftshälfte	1527	km							
Wirksamkeit von Aciclovir und Glucocorticoiden in der Behandlung des Herpes zoster und postzosterischer Neuralgien	1526	km							
Varizellen-Syndrom; kongenitales									
Windpocken in der ersten Schwangerschaftshälfte	1527	km							
Vasektomie									
Hodenkrebsrisiko nach Vasektomie	1757	km							
Vaskulitis									
Churg-Strauss-Syndrom oder chronische eosinophile Pneumonie?	1565	lz							
Hepatitis-B-assoziierte Vaskulitis. Verlauf unter Therapie mit Glucocorticoiden und Alpha-Interferon	1388	kas							
Maligne atrophische Papulose	1427	kas							
Vaskulitis; ANCA-assoziierte									
Einseitige diffuse Lungenbeteiligung bei Vaskulitis mit Anti-Neutrophilen-Zytoplasma-Antikörpern sowie Antikörpern gegen glomeruläre Basalmembranen	1071	kas							
Vasodilatation									
Gesteigerte vaskuläre Sensitivität auf Nitroglycerin bei Patienten mit Hypercholesterinämie und peripherer Endotheldysfunktion	1065	or							
Vasokonstriktion; postinspiratorische									
Dopplersonographie peripherer Arterien bei tiefer Inspiration zur Überprüfung der sympathischen Gefäßinnervation	1567	km							
Vasomotion									
Angina pectoris und normales Koronarangiogramm bei arterieller Hypertonie und linksventrikulärer Hypertrophie	1175	üb							

Vasospastik			Vitamin D und Osteoporose. Pathogenese – Therapie	1479	üb		X	
Akute Ischämie eines Armes als ungewöhnlicher Ausdruck eines Ergotismus	1501	kas						
Endoskopische transthorakale Sympathektomie bei paraneoplastischem Raynaud-Syndrom	1162	kas	Vitamin E Antioxidantien	1135	fr	Xanthinoxidase-Inhibitor Allopurinol		1045 as
Vater-Pacini-Tastkörperchen			Volvulus; des Magens Behandlung eines intermittierenden Magenvolvulus durch Gastropexie mittels perkutaner endoskopischer Gastrostomie	1658	kas	Xerostomie Sicca-Symptomatik unter systemischer Therapie mit Beta-Rezeptorenblockern		1783 adt
Digitales Tastkörperchen-Neurom	999	mq	Vorhofseptumaneurysma (siehe Aneurysma; des Vorhofseptums)				Y	
Venenkatheter			Vorhofseptumdefekt Nicht-operativer Verschluss des Vorhofseptumdefektes bei Erwachsenen. Erfahrungen mit dem Rashkind- und dem Sideris-Okkluder	1341	or	Yersinia pestis Indikationen zur Pestimpfung und -chemoprophylaxe		1714 fr
Hautdesinfektion vor der Blutentnahme	1182	fr					Z	
Infektionsprophylaxe bei Dauerverweilkanülen	1017	fr						
Ventrikelseptumdefekt								
Großer subaortaler Ventrikelseptumdefekt	1583	mq						
Verletzungen; bei Radfahrern			W			Zidovudin Akzidentelle Nadelstichverletzung bei medizinischem Pflegepersonal		1563 fr
Schutzhelme für radfahrende Kinder	1021	km	Wachstumsfaktoren Therapie einer Clozapin-induzierten Agranulozytose mit granulozytenkolonie-stimulierendem Faktor	1467	kas	Zidovudin bei asymptomatischen HIV-Patienten?		1374 km
Verschreibungspraxis			Wasserhaushalt Glomeruläre Hyperperfusion und Niereninsuffizienz	1136	fr	Zollinger-Ellison-Syndrom Omeprazol		1173 as
Ambulante Behandlung von Schlafstörungen im Alter	1538	or	Therapie des Aszites bei Lebererkrankungen	1549	adt	Zystendrainage; bei Pankreaspseudozysten ERCP bei bekannter Pankreaspseudozyste		1755 fr
Versorgung; ambulante ärztliche			Wärmebehandlung Therapie kutaner und mukokutaner Leishmaniosen	1169	adt	Zystenruptur Rupturgefahr bei Nierenzysten		1486 fr
Ambulante Versorgung von Diabetikern	1056	lz	Whipple-Operation Pyloruserhaltung – »a never ending story«	1372	lz	Zystitis Aktuelle Epidemiologie, Diagnostik und Therapie der Urogenitaltuberkulose		1121 adt
Verweilkanülen			Wirbelkörperfrakturen Asymptomatischer primärer Hyperparathyreoidismus. Behandeln oder beobachten?	967	üb	Zytokine Aktueller Stand der Behandlung chronischer Virushepatitiden mit rekombinantem Interferon alpha		961 adt
Infektionsprophylaxe bei Dauerverweilkanülen	1017	fr	Osteoporose bei Männern. Pathogenese und klinische Einteilung bei 254 Fällen	943	or	Induktion der Stickstoffmonoxid(NO)-Synthese		1413 km
Virostatika			Wolff-Parkinson-White-Syndrom Adenosintriphosphat (ATP) bei supraventrikulären Tachykardien im Neugeborenen- und Säuglingsalter	1351	kas	Zytostatika Sekundäre Neoplasien nach Immunsuppression		1747 üb
Zidovudin bei asymptomatischen HIV-Patienten?	1374	km	Klinische Bedeutung des Ajmalin-Tests in der nicht-invasiven Diagnostik bei Wolff-Parkinson-White-Syndrom	985	or	Zytostatikaresistenz Pathologie der Pulmonalarterien bei Lungentumoren		1415 or
Virusinaktivierungsverfahren								
Rationale Substitution mit Blut- und Blutbestandteilkonserven	1555	üb						
Vitamin-A-Derivate								
Komplette Remission bei akuter Promyelozytenleukämie. Vorteile von <i>all-trans</i> -Retinsäure im Vergleich mit konventioneller Chemotherapie	1143	or						
Vitamin C								
Antioxidantien	1135	fr						
Vitamin-D-Substitution								
Hypocalcämische Kardiomyopathie als Ursache einer schweren Linksherzinsuffizienz	1270	kas						
Hypocalcämische Kardiomyopathie als Ursache einer schweren Linksherzinsuffizienz (Berichtigung)	1414							

Rubrikenschlüssel

adt = Aktuelle Diagnostik und Therapie
ar = Arztrecht
as = Der Arzneistoff
epi = Epikrise

fr = Fragen aus der Praxis
gt = Gedenktage
kas = Kasuistiken
km = Kleine Mitteilungen
kom = Kommentare

la = Leitartikel
lz = Leser-Zuschriften
mg = Medizingeschichte
mq = Mediquiz
nk = Nekrologe

or = Originalien
pp = Prinzip & Perspektive
stp = Standpunkte
üb = Übersichten

J		Kohl, F.	1215	mg	Lippert, H.-D.	1796	ar	Müller, K.-M.	1415	or
Jacki, S.	1694	Konietzko, J.	1016	fr	Lippert, J.	994	kas		1653	kas
Jaedicke, W.	1412	Korn, Maria	1105	or	Lobeck, H.	1421	kas	Müller, M.	1716	lz
Jakob, Helga	985	Korting, H. C.	1307	kas	Lode, H.	1728	kas	Mueller-Eckhardt, C.	1512	üb
Janitschke, K.	1335	Kosow, Andrea	1645	or	Löhnert, M.	1701	adt			
Jansen, W.	1156	Kostenis, Evi	1173	as	Löscher, T.	1618	kas	Müller-Wening, D.	1716	lz
Jaspersen, D.	1661	Kozuschek, W.	1372	lz	Loew, H.	1263	or	Münzel, T.	1065	or
Jelinek, T.	1618	Kraemer-Hansen, Heike	1678	lz	Lohmüller, G.	1756	lz	Muttray, A.	1016	fr
Jens, H.	1333	Krahwinkel, W.	1101	lz	Lohri, A.	1235	kas			
Jergas, M.	1645	Krakamp, B.	1699	mq	Loose, R.	1162	kas			
Jilg, W.	1625	Kramer, H. J.	1706	üb	Ludwig, W.-D.	1555	üb	N		
	1800	Krappweis, Jutta	1734	kas	Lüderitz, B.	1102	km			
Joachim, H.	1602	Krause, G.	975	lz	Lüthy, R.	1151	or	Neuhaus, H.	1755	fr
Job, F. P.	1006	Kraus-Huonder, Brigitte	1091	mq		1759	or	Neuking, R.	1450	lz
Jockenhövel, F.	967		1243	mq				Neumann, H. P. H.	1486	fr
Joseph, K.	1573	Krawzak, H.-W.	1579	kas	M			Neuzner, J.	985	or
Joseph, Urte	1573	Krech, R.	1167	mq				Niebauer, J.	1017	lz
Jung, M.	1443	Kreft, B.	1115	kas	Maaß, Andrea	1045	as	Niederrau, C.	1365	üb
Junge, U.	1377	Kretzschmar, W.	1335	lz	Maaß, M.	1462	kas	Nieschlag, E.	1436	üb
Junghanss, T.	1169	Kreuzer, H.	1283	adt	Maier, Birgit	1683	or	Niethammer, D.	1359	adt
Just, H.	1065		1317	kas	Maier, C.	1162	kas	Normann, S.	1397	mq
	1786	Kreuzpaintner, G.	1421	kas	Maiwald, M.	1679	lz	Nusko, G.	990	kas
		Krieg, J.-C.	1076	kas	Malfertheiner, P.	1739	adt			
		Kroll, H.	1512	üb	Mann, J.	965	pp	O		
		Kruse, K.	1776	kas	Manns, M. P.	1383	kas			
		Krüger, C.	1346	kas		1393	kas	Obermair, A.	1491	or
		Kubanek, B.	1643	km	Mares, P.	1105	or	Oesch, F.	1747	üb
		Kücherer, C.	956	kas	Martin, M.	1450	lz	Opferkuch, W.	1569	or
		Küther, S.	961	adt	Martin, W.-R.	1181	fr	Opravil, M.	1151	or
		Kuhle, R.	1282	mq	Mast, H.	1087	üb	Orth, H. B.	1235	kas
		Kuhn, A.	1183	lz	Mathas, B.	1156	kas	Ostendorf, P. C.	1427	kas
		Kurz, Christine	1491	or	Mauch, H.	1728	kas	Osterziel, K. J.	1604	km
		Kurz, S.	1065	or	Mayer, J.	1625	adt			
		Kuster, H.	1151	or	Meier-Willersen, H. J.	1679	lz			
		Kutzner, H.	1427	kas	Meinertz, T.	1205	adt	P		
					Menges, M.	959	mq	Paliege, R.	1405	üb
					Merle, H.	1341	or	Paumgartner, G.	1509	adt
						1458	or		1549	adt
						1450	lz	Pavel, Marianne	1776	kas
						1436	üb	Peter, H. H.	1071	kas
						1706	üb	Peter, J. H.	1187	or
						1663	adt	Petereit, Gesine	1734	kas
						1245	adt	Peters, U.	1467	kas
						1183	lz	Philipp, T.	1263	or
						1458	or	Picha, R.	1061	or
						1525	lz	Pichler, C.	1258	fr
						1110	kas	Pichler, W. J.	1258	fr
						1105	or	Pickardt, C. Renate	1339	la
								Pirovino, M.	1194	kas
						1671	üb	Pitschner, H. F.	985	or
						1270	kas	Pittermann, E.	1487	lz
						1045	as	Ploch, T.	1187	or
						1173	as	Poersch, M.	1221	lz
						1669	as	Pohlenz, J.	1301	or
						1365	üb	Pokieser, P.	1453	or
						1023	or	Porschen, R.	1001	adt
						1175	üb	Prellwitz, W.	1013	la
						1168	mq		1497	kas
						1321	mq	Preusler, W.	1766	or
						1567	km	Preuße, C. J.	1023	or
								Proksch, E.	1047	üb
						1721	or		1126	üb
						1506	mq	Przybilla, B.	1093	la
						1700	mq	Pufahl, Constanze	1351	kas
						1298	km			
						1297	lz			

Rubrikenschlüssel

adt = Aktuelle Diagnostik und Therapie
 ar = Arztrecht
 as = Der Arzneistoff
 epi = Epikrise

fr = Fragen aus der Praxis
 gt = Gedenktage
 kas = Kasuistiken
 km = Kleine Mitteilungen
 kom = Kommentare

la = Leitartikel
 lz = Leser-Zuschriften
 mg = Medizingeschichte
 mq = Mediquiz
 nk = Nekrologe

or = Originalien
 pp = Prinzip & Perspektive
 stp = Standpunkte
 üb = Übersichten

R											
Rabast, U.	1781	mq	Schentke, K. U.	1734	kas	Spengel, F.	1801	fr	Walczyk, H.	1372	lz
Raffenberg, M.	1728	kas	Scherer, D.	948	or	Spengler, U.	1004	adt	Walencyk, J.	1184	lz
Rambach, W.	1397	mq		1341	or		1239	as		1199	kas
Rees, W.	1276	kas	Scherf, F. G.	1458	or	Spies, H.	1341	or	Waller, H. D.	1694	kas
Reifart, N.	1766	or	Schiefer, H. G.	1579	kas		1458	or	Walpert, J.	1121	adt
Reinwein, D.	967	üb	Schinkel, H.	1637	fr	Spies, H. F.	948	or	Wanner, C.	1524	fr
Reischl, U.	1625	adt	Schinzler, H.	1497	kas	Spittler, S.	1467	kas	Weber, D.	1122	mq
Renner, E.	1281	mq	Schlatter, C. E.	1151	or	Spitzczok v. Bri-	1678	lz	Weber, P.	1388	kas
Reuss-Borst, Monika A.	1694	kas	Schlepper, M.	985	or	Sinski, I.			Weber, R.	1151	or
Richter, G.	1131	kom	Schmid, P. A.	1543	kas	Sprecher, W.	1317	kas	Weber, W.	956	kas
Riecken, E. O.	1433	adt	Schmidt, H. H.-J.	1393	kas	Sprott, H.	1639	lz		1235	kas
	1473	adt	Schmidt, H. K.	1110	kas	Sroka, R.	951	kas	Wedmann, B.	1653	kas
Riederer, J.	1639	lz	Schmidt, Helga	960	mq	Staedt, J.	1538	or	Wegener, M.	1653	kas
Rieger, H.-J.	1096	ar	Schmidt, J. A.	1573	kas	Staudinger, T.	1312	kas	Weidmann, B.	1156	kas
	1255	ar	Schmitt, H. H.	1023	or	Steinmetz, U.	1297	lz	Weih, W.	1061	or
	1522	ar	Schmitt, H.-J.	1099	fr	Stellwaag, M.	1187	or	Weilemann, L. S.	1497	kas
	1561	ar		1219	fr	Stift, A.	1105	or	Weingärtner, K.	1054	lz
	1712	ar	Schmutz, G.	1645	or	Störger, H.	1766	or	Weiss, W.	1139	lz
Riemann, J. F.	1181	fr	Schnaith, E.	1421	kas	Stolz, W.	1307	kas	Wekerle, T.	1105	or
Riess, G.	1029	kas	Schneider, A.	1199	kas	Stoppe, Gabriela	1538	or	Welte, T.	1259	lz
Ringe, J. D.	943	or	Schneider, B.	1205	adt	Strasser, Ruth H.	1715	fr	Wemme, Heike	1301	or
	1289	üb	Schneider, Sabine	1336	lz	Strauer, B. E.	1023	or	Wenzel, R. R.	1263	or
Rintelen, C.	1312	kas	Schnur, S.	1639	lz		1175	üb	Werner, G. S.	1317	kas
Rister, M.	1431	mq	Schölmerich, J.	1140	km	Stremmel, W.	1421	kas	Wetzig, T.	1187	or
Rittmannsberger, H.	1221	lz		1245	adt	Strick, S.	1110	kas	v. Wichert, P.	1573	kas
Ritz, E.	994	kas	Schömig, A.	1501	kas	Strnad, V.	1054	lz	Wiedemann, G.	1115	kas
	1136	fr	Schönberger, W.	1301	or	Strohmeier, G.	1041	adt	Wiedmann, K. H.	1388	kas
Ritzkowsky, A.	1563	fr	v. Schönfeld, J.	1034	kas	Stuck, M.	1759	or	Wiesbauer, P.	1453	or
Rockstroh, J. K.	1004	adt	Schönhöfer, B.	1209	üb	Stufe, A.	1058	lz	Wiese, R.	1231	kas
Rodert, A.	1359	adt	Schollmeyer, P.	1071	kas	Sultan, N.	948	or	Wiesmann, U.	1371	fr
Röggla, M.	1312	kas	Schramm, J.	979	or	Suter, T.	1543	kas	Wildt, L.	1776	kas
Rohr, H.	1449	lz	Schratzlsee, G.	1029	kas	Sültz, J.	1716	lz	Windeck, R.	1263	or
Rohrbach, R.	1071	kas	Schreiber, M.	1115	kas				Windler, E.	1677	fr
Roth, S.	1327	üb	Schreiber, W.	1076	kas	T			Winkler, W.-B.	1771	kas
Rothmund, M.	1372	lz	Schröder, D.	1162	kas	Tauchert, M.	1156	kas	Winter, Silke	1538	or
	1399	adt	Schröder, K.	1585	adt	Tebbe, U.	1183	lz	Witt, Irene	1529	la
	1573	kas	Schröder, R.	1220	lz	Teschler, H.	1565	lz	Wlotzke, U.	1307	kas
Ruef, C.	1759	or	Schrolenz, H.	1061	or	Tesinsky, P.	1312	kas	Wolf, F.	1346	kas
Rueff, Franziska	1093	la	Schüler, A.	1383	kas	Teufel, M.	1351	kas	Wolf, G.	1453	or
Rühl, G. H.	1569	or	Schüler, S.	1276	kas	Theiss, W.	1501	kas	Wolner, E.	1105	or
Rüther, E.	1538	or	Schürmeyer, T. H.	1721	or	Thelen, M.	1525	lz	Wullenweber, J.	1019	lz
Rupprecht, E.	1040	mq	Schuler, M.	1747	üb	Thiel, M.	1450	lz	Y		
	1244	mq	Schuler, U.	1359	adt	Thieler, H.	1261	km	Youssefzadeh, Soraya	1453	or
	1358	mq	Schulte, H. D.	1023	or	tho Pesch, S.	1467	kas			
	1472	mq	Schulte, H. M.	1270	kas	Tilsner, V.	1182	fr			
Russi, E. W.	1151	or	Schultheiß, H. P.	1023	or	Trauner, A.	1613	kas			
Rutsch, W.	1220	lz	Schulz, R.	1317	kas				Z		
Rutt, C. M. A.	1359	adt		1589	pp				Zehender, M.	1786	üb
Ruzicka, T.	1526	km		1745	pp				Zeisler, K.-H.	1716	lz
			Schulze, R.	1458	or	U			Zelis, B.	1065	or
			Schwartzkopff, B.	1175	üb	Uffmann, M.	1645	or	Zieger, M.	1584	mq
			Schwarz, F.	1766	or	Uhl, W.	1739	adt		1738	mq
			Scriba, P. C.	1334	fr	Uhlig, T.	1737	mq	Ziegler, D.	1728	kas
				1339	la	Ulmer, A.	1260	lz	Ziegler, M.	1618	kas
				1412	lz	Ullrich, A.	1771	kas	Zöller, L.	1716	lz
				1630	üb	Ullrich, A.	1458	or	Zuber, Margit	1137	lz
			Sechtem, U.	1630	üb	Ullrich, A.			Züchner, H.	1377	or
			Seefried, Waltraud	1335	lz	Ullrich, A.			Zwettler, U.	994	kas
			Seggwiß, H.	1110	kas	Ullrich, A.					
			Sevelde, P.	1491	or	V					
			Shah, P. M.	1336	lz	Valentin, A.	1771	kas			
			Sibrowski, W.	1019	lz	Vester, E.	1023	or			
			Siepmann, M.	1783	adt	Völler, H.	1585	adt			
			Sievert, H.	948	or	Voigt, Claudia	1427	kas			
				1341	or	Volkmann, H.	1405	üb			
				1458	or						
				1802	lz	W					
			Siewert, J. R.	1518	kom	Wagner, H.-J.	1802	lz			
				1564	fr	Wagner, T.	1671	üb			
			Sigel, H.	1683	or	Wagner, T. A.	1057	lz			
			Simon, M.	1143	or	Wagner, T. O. F.	1259	lz			
			Simon, R.	1270	kas	Wahner, H. W.	1289	üb			
			Singer, I.	1690	kas						
			Slany, J.	1771	kas						
			Smaczny, Christina	1259	lz						
			Sonnenberg, A.	1532	or						
			Speich, R.	1543	kas						

Gnathostomiasis nach Aufenthalt in Thailand

T. Jelinek, M. Ziegler und T. Löscher

Abteilung für Infektions- und Tropenmedizin (Leiter: Prof. Dr. T. Löscher), Medizinische Klinik Innenstadt der Universität München, und Kinderklinik (Chefarzt: Priv. Doz. Dr. R. Burghard) des Stadtkrankenhauses Memmingen

Ein 13jähriger Junge litt während eines vierwöchigen Thailandurlaubes kurzzeitig an Durchfall ohne Blutbeimengung und Fieber. 5 Monate später traten ödematöse, gerötete Schwellungen, zunächst am rechten Unterarm und dann an der rechten Brust, auf, die vor allem nachts von sehr starkem lokalem und generalisiertem Juckreiz begleitet waren. Die axillären Lymphknoten waren beiderseits verhärtet und etwas vergrößert. Im Blut fiel eine Eosinophilie von 56% auf, die Leukozytenzahl war auf 22 700/ μ l, der Serumspiegel des IgE auf 1777 I.E./ml erhöht. Der Nachweis von Wurmeiern oder -larven im Stuhl gelang nicht; durch einen Enzyme-Linked-Immuno-Sorbent-Assay unter Verwendung eines Antigens aus Larven von *Gnathostoma spinigerum* wurden Antikörper gegen diese Nematoden in signifikanter Höhe nachgewiesen. Aufgrund der klinischen und serologischen Diagnose einer Gnathostomiasis wurde eine Behandlung mit Albendazol (zweimal 200 mg/d) über 21 Tage durchgeführt; danach war der Junge beschwerdefrei. 2 Monate später war die Eosinophilie auf 10% und die Leukozytenzahl in den Normbereich zurückgegangen; der Antikörperspiegel war ebenfalls gesunken.

Die Infektion des Menschen durch *Gnathostoma* species ist eine in Südostasien und insbesondere Thailand endemische, durch Nematoden verursachte Krankheit, die oft diagnostische und therapeutische Probleme aufwirft. Ihre Bedeutung wurde erst in den letzten Jahren erkannt. Auf der nördlichen Welthalbkuugel zählt die Erkrankung zu den medizinischen Raritäten. Im Zuge des zunehmenden Massentourismus muß die Diagnose jedoch bei Patienten erwogen werden, die über eine Reise nach Südostasien, Indien, Mittel- oder Südamerika berichten (17). Anamnese, klinische Befunde und neuere immundiagnostische Möglichkeiten ermöglichen die richtige Diagnose. Der Parasit wird in der Regel durch Genuß von rohen oder ungenügend gekochten Süßwasserfischen sowie gelegentlich auch von anderen Zwischenwirten wie Hühnern, Schnecken, Fröschen oder Schweinen erworben (6). Der häufigste klini-

Gnathostomiasis after a trip to Thailand

During a 4-week holiday in Thailand a 13-year old boy from Germany briefly fell ill with diarrhoea without blood-tinged stools and fever. 5 months later oedematous, reddish swellings occurred, at first on the right upper arm, later over the right side of the chest. Especially at night these swellings were associated with severe local and generalized itching. Bilaterally the axillary lymph-nodes were hard and slightly enlarged. There was a marked eosinophilia of 56%, the white count was 22 700/ μ l and the serum level of IgE was raised to 1777 IU/ml. No worm eggs or larvae were found in the stool. Enzyme-linked immunosorbent assay, using larvae of *Gnathostoma spinigerum* as antigen, demonstrated antibodies against this nematode. Gnathostomiasis having been diagnosed treatment was started with albendazole (200 mg twice daily for 21 days), after which the boy was symptomfree. After 2 months the eosinophilia had regressed to 10%, the white cell count was normal and the antibody titre had fallen.

sche Befund besteht in rezidivierenden, wandernden subkutanen Schwellungen, die am gesamten Körper auftreten können und häufig von Juckreiz und Allgemeinsymptomen sowie einer zum Teil außerordentlich hohen Bluteosinophilie begleitet werden (11, 12).

Kasuistik

Anamnese

Ein 13jähriger Junge, der als zweites Kind vietnamesischer Eltern in Deutschland geboren und aufgewachsen war, verbrachte mit seiner Familie erstmalig einen vierwöchigen Urlaub in Thailand. Die medizinische Vorgeschichte war unauffällig. Während der Reise litt der Junge kurz an Durchfall ohne Blutbeimengungen im Stuhl und ohne Fieber. Im Anschluß klagte der Patient über ständige Müdigkeit, darüber hinaus infizierten sich immer wieder Insektenstiche am gesamten Körper. Nach einem beschwerdefreien Intervall von 5 Monaten nach Rückkehr von der Reise trat eine diffuse

ödematöse Schwellung des rechten Unterarmes auf, die von einem Erythem über dem betroffenen Gebiet und von Juckreiz begleitet wurde und innerhalb weniger Tage ohne weitere Behandlungsmaßnahmen zurückging. 14 Tage später kam es zu einer ausgeprägten Schwellung im Bereich des rechten Musculus pectoralis major; daraufhin wurde das Kind stationär aufgenommen. Der Patient klagte über ständigen Juckreiz im befallenen Gebiet sowie über regelmäßig auftretenden nächtlichen Juckreiz am gesamten Körper. Das Allgemeinbefinden war nicht wesentlich beeinträchtigt.

Klinischer Befund

Über dem Musculus pectoralis fielen eine etwa 10 × 10 cm große, gerötete, nicht schmerzhaft ödematöse Schwellung sowie zahlreiche Kratzspuren auf. Kratzspuren fanden sich auch in fast allen anderen Körperregionen. Ansonsten befand sich der 13^{1/2} Jahre alte Patient (Größe 154 cm, Gewicht 42,5 kg) in gutem Allgemein- und Ernährungszustand. Kopf- und Halsbereich waren unauffällig. Die axillären Lymphknoten waren beiderseits verhärtet, nicht druckschmerzhaft und gering vergrößert. Die Lunge war seitengleich belüftet, die Auskultation erbrachte unauffällige Befunde. Die Herztöne waren rein und rhythmisch, der Blutdruck lag bei 110/60 mm Hg, die Pulsfrequenz bei 84/min. Das Abdomen war weich, es war keine Organvergrößerung feststellbar. Auch die neurologische Untersuchung erbrachte altersentsprechende Befunde.

Klinisch-chemische Befunde

Bemerkenswert war eine Bluteosinophilie von 56% bei 22 700 Leukozyten/ μ l, ansonsten aber unauffälligem Blutbild. Die Blutsenkungsgeschwindigkeit war mit 22/54 mm erhöht. Die Serumelektrolytspiegel waren ausgeglichen. Die Serumkonzentrationen von Kreatinin, Blutzucker, Transaminasen, Bilirubin, Cholinesterase, α -Amylase und Lipase befanden sich im Normbereich. Die Serum-Elektrophorese erbrachte ebenso wie der Urinstatus unauffällige Ergebnisse. Die Konzentrationen der Immunglobuline IgA, IgG und IgM lagen im Normbereich, der Spiegel des IgE war auf 1777 IU/ml erhöht.

Technische Untersuchungen

Das Röntgenbild des Thorax ließ einen altersentsprechenden Befund erkennen. Durch Oberbauchsonographie war eine geringe Splenomegalie nachweisbar (8 × 12 cm), die übrigen Bauchorgane waren nicht verändert.

Ergänzende Untersuchungen

Im Stuhl konnten Zysten von Entamoeba histolytica und Endolimax nana nachgewiesen werden. Der Nachweis von Wurmeiern oder -larven gelang nicht; parasitologisch untersucht wurden insgesamt fünf Stuhlproben mittels Merthiolate-Jodine-Formaldehyd-(MIF-)Konzentration und Kopro-Kultur nach dem Baermann-Verfahren (20). Die Filariose-Serologie mit Antigenen von Onchocerca volvulus und Dirofilaria immitis (Tab. 1) fiel positiv aus; ein Filariennachweis im Nativblut mittels Membranfilter und Anreicherung nach Knott (20) nach Entnahme zu verschiedenen Tages- und Nachtzeiten gelang nicht. Ebenso fiel der sogenannte Mazzotti-Test (Filarienanreicherung nach Gabe von Diethylcarbamazin sowie gegebenenfalls Auftreten allergischer Reaktionen) negativ aus. Antikörper gegen Entamoeba histolytica und Toxocara canis konnten nicht, gegen Paragonimus sp. nur in sehr niedriger Konzentration nachgewiesen werden. Eine Serumprobe wurde auf Antikörper gegen Angiostrongyloides sp. und Gnathostoma spinigerum untersucht. Die Angiostrongyliasis-Serologie erbrachte negative Ergebnisse, jedoch konnten signifikante Antikörperspiegel gegen Gnathostoma spinigerum-Antigene im ELISA nachgewiesen werden (Tab. 1).

Therapie und Verlauf

Nachdem klinische und serologische Untersuchungen den Verdacht auf Gnathostomiasis ergaben, wurde eine Therapie mit Albendazol (zweimal 200 mg/d) über 21 Tage durchgeführt. Zusätzlich wurde die intestinale nicht-invasive Amöbiasis mit Diloxanidfuroat (Furamide® 3 × 500 mg/d) über 10 Tage behandelt. Die Behandlung wurde ohne Nebenwirkungen vertragen. 10 Tage nach Beginn der Albendazol-Gabe trat kein nächtlicher Juckreiz mehr auf; die ödematöse Schwellung über dem Musculus pectoralis hatte sich bis dahin

Tab. 1 Ergebnisse der parasitologischen Immundiagnostik bei einem Patienten mit Gnathostomiasis

Krankheit	Antigen	Test	Ergebnis vor Therapie	Ergebnis 2 Monate nach Therapie
Filariose	Onchocerca volvulus	ELISA	positiv (57 AKE)	positiv (23 AKE)
	Dirofilaria immitis	ELISA	positiv (69 AKE)	positiv (23 AKE)
Toxocariasis	Toxocara canis (ES-Antigen)	ELISA	negativ (< 1 AKE)	negativ (< 1 AKE)
Paragonimiasis	Paragonimus africanus/uterobilateralis ¹	IHA	grenzwertig (Titer 1 : 80)	
Angiostrongyliasis	Angiostrongylus cantonensis ²	ELISA	negativ	negativ
Gnathostomiasis	Gnathostoma spinigerum ²	ELISA	positiv (Extinktion: 0,314)	positiv (Extinktion: 0,289)

¹ Untersuchungen durchgeführt am Bernhard-Nocht-Institut, Abteilung für Bakteriologie und Serologie (Leiter: Prof. Dr. Mannweiler), Hamburg

² Untersuchungen durchgeführt an der Mahidol University, Faculty of Tropical Medicine, Department of Helminthology, Bangkok

AKE = Antikörpereinheiten (Vielfaches der Normalaktivität), IHA = indirekte Hämagglutination

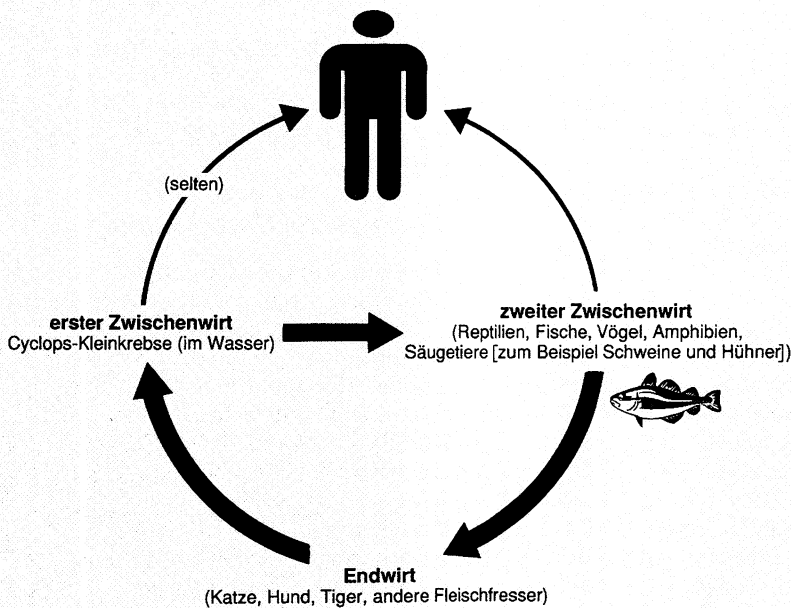


Abb. 1 Lebenszyklus von *Gnathostoma spinigerum*.

ebenfalls vollständig zurückgebildet. Seit Beendigung der Behandlung ist der Patient beschwerdefrei, weitere Schwellungen traten nicht auf. 2 Monate nach Behandlung ließ die Eosinophilie einen deutlichen Rückgang auf 10% bei 6500 Leukozyten/ μ l erkennen. Die serologischen Befunde waren weiterhin positiv, die Antikörperspiegel jedoch rückläufig (**Tab. 1**).

Diskussion

Von den zwölf bekannten Arten der Gattung *Gnathostoma* führt vor allem *Gnathostoma spinigerum* zum Befall des Menschen (6); Infektionen mit *Gnathostoma hispidum*, *nipponicum* oder *doloresi* sind seltener (12, 17). Es handelt sich bei *Gnathostoma spinigerum* um einen Nematoden, der im adulten Zustand 2–3 cm lang wird; Endwirte sind fleischfressende Säugetiere wie Hunde, Katzen, Otter und andere (**Abb. 1**) (2, 6, 10). Die reifen Adulten leben in einer tumorösen höhlenartigen Wucherung der Magenwand und scheiden durch die Öffnung Eier in den Magen-Darm-Trakt aus (6, 10). Mit dem Stuhl gelangen die Eier in die Außenwelt. Im Kontakt mit Süßwasser kommt es zum Schlüpfen des ersten Larvenstadiums. Erste Zwischenwirte sind Krebse der Gattung *Cyclops*, in denen eine weitere Entwicklung zum zweiten Larvenstadium verläuft. Werden die Kleinkrebse durch einen zweiten Zwischenwirt verschluckt, dies sind vor allem Fische, Frösche, Schlangen, Hühner und Schweine, so durchdringen die Larven die Magenwand und wandern in die Muskulatur, wo die Reifung zum dritten Larvenstadium und schließlich zur Zystenbildung stattfindet (5, 10). Bei Aufnahme durch einen Endwirt verlassen die Larven ihre Zysten im Magen des Wirtes und wandern zunächst zur Leber, anschließend durch Bindegewebe und Muskulatur. Nach ungefähr 4 Wochen kehren die Larven in den Magen des Endwirtes zurück. Bei der Durchdringung der Magenwand von außen entsteht eine tumoröse Höhle, in der die Lar-

ven nach 6–8 Wochen zu adulten Würmern heranreifen. Etwa 8–12 Monate nach Schlucken der Larven durch den Endwirt sind die ersten Eier im Stuhl nachweisbar. Beim Menschen kommt es nicht zur vollständigen Ausreifung, so daß in der Regel nur kleinere Larven im dritten Entwicklungsstadium nachweisbar sind. Ihre Größe bewegt sich zwischen 2 und 16 mm (16). Die Larven kehren nicht in den Magen zurück. Sie setzen ihre Wanderung durch subkutanes Gewebe fort und können so zu immer wieder auftretenden wandernden Schwellungen führen, die häufig über Monate bis Jahre anhalten. Es wurden Verläufe bis zu 12 Jahren beschrieben (5, 17).

Die Hauptendemiegebiete der *Gnathostomiasis* sind in **Abb. 2** wiedergegeben. Die häufigsten Berichte über *Gnathostoma*-Infektionen kommen aus Südostasien, insbesondere aus Thailand. Auch in Australien und Südamerika wurden in Einzelfällen Infektionen beobachtet (11). Obwohl gelegentlich ein *Gnathostoma*-Befall bei Nerzen und Waschbären Nordamerikas nachgewiesen wird, wurde bisher über eine tatsächlich in Nordamerika erworbene menschliche Infektion noch nicht berichtet (7, 10, 17). Auf eine potentiell hohe Infektiosität weist ein Ausbruch während eines diplomatischen Empfanges in Bangladesch hin, bei dem acht von zwölf Diplomaten, die rohe Fisch-Pastete zu sich nahmen, erkrankten (3).

Die Infektion des Menschen erfolgt meist durch Verschlucken von Larven im dritten Stadium beim Verzehr von rohem oder ungenügend gekochtem Fisch, Geflügel oder Schweinefleisch (6, 10). Seltener ist ein Befall durch Trinken *Cyclops* enthaltenden Wassers, wodurch die Ingestion von Larven im zweiten Entwicklungsstadium möglich wird. In Ausnahmefällen können Larven im dritten Stadium ähnlich wie andere Nematodenlarven auch durch die Haut eindringen; vereinzelt wurden auch diaplazentare Infektionen beobachtet

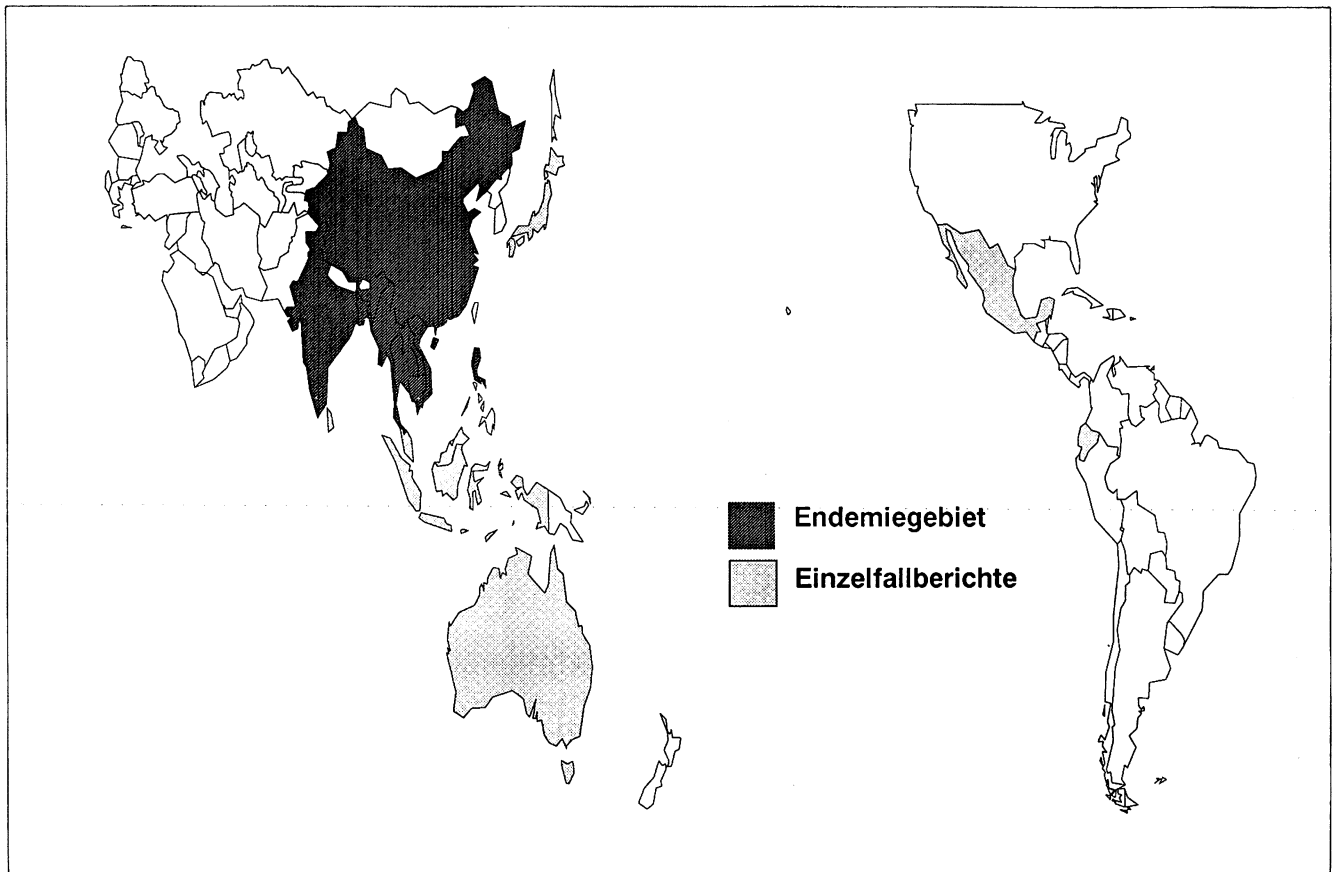


Abb. 2 Hauptendemiegebiete der Gnathostomiasis.

(4–6, 10, 16). Im beschriebenen Fall könnte die Infektion über oral aufgenommene Cyclops-Kleinkrebse in Betracht kommen, da der Junge ausgiebig in bewässerten Reisfeldern und anderen Gewässern spielte. An den Verzehr von rohem Fisch oder Fleisch konnten sich der Patient und seine Eltern nicht erinnern.

24–48 Stunden nach Aufnahme von *Gnathostoma spinigerum* kann es zu unspezifischen Symptomen wie Fieber, Übelkeit und Müdigkeit kommen. Eine Eosinophilie bis über 50% entwickelt sich sehr früh im Zusammenhang mit der Penetration der Larven durch die Magenwand (10, 14). Kurzfristig können im Laufe der Wanderung Schmerzen im rechten Oberbauch und pleuropulmonalen Symptome auftreten. Frühestens 3–4 Wochen nach der Ingestion, in Einzelfällen aber erst Jahre später, kommt es zu den typischen Beschwerden durch die subkutane Wanderung der Larven, die über Monate bis Jahre anhalten kann. Sie äußert sich, wie im beschriebenen Fall, meist als wiederkehrende wandernde, ödematöse Schwellungen, die für 1–2 Wochen anhalten und von Schmerzen, sehr starkem Juckreiz und einem Erythem begleitet sein können (6, 12, 17). Seltener sind Abszeßbildung, Hautknoten oder rötliche Gänge in der Haut, wie sie bei der Larva migrans cutanea beschrieben werden (17). Neben dieser subkutanen Gnathostomiasis kann sich gelegentlich eine organzerstörende viszerale Form entwickeln, die schwere Schäden verursachen kann. Hier ist der Befall sämtlicher Organsysteme möglich, so konnte insbeson-

dere auch eine Beteiligung des zentralen Nervensystems bei mehreren Patienten nachgewiesen werden (15, 17).

Eine parasitologische Sicherung der Diagnose durch direkten Nachweis von *Gnathostoma*-Larven gelingt bei der subkutanen Form nur selten. Die Diagnose beruht daher in der Regel auf dem klinischen Bild, einer entsprechenden Reiseanamnese, die beispielsweise auf den Verzehr ungenügend gekochter Speisen hinweist, und auf der Immundiagnostik. Eosinophilie im Blut, bei Befall des zentralen Nervensystems auch im Liquor, kann ebenso wie ein steiler Anstieg des IgE-Spiegels im Serum hinweisend sein (10). Häufig, wie auch hier, werden aufgrund von Kreuzreaktionen positive Befunde in der Filariose-Serologie beobachtet. Vorsicht vor einer vorschnellen Diagnose ist also geboten.

Seit einigen Jahren steht eine sensitive Immundiagnostik der Gnathostomiasis zur Verfügung. Am sensitivsten und spezifischsten ist derzeit ein ELISA mit Verwendung eines Antigens aus Larven von *Gnathostoma spinigerum* im dritten Stadium. Kreuzreaktionen sind mit *Angiostrongylus cantonensis* und *Paragonimiasis* möglich, bei anderen Parasitosen, insbesondere Filariosen, jedoch nicht beobachtet worden (7, 13, 19). Diese Untersuchung wird derzeit weltweit nur von wenigen spezialisierten Zentren durchgeführt.

Der serologische Befund bleibt jedoch nur ein Hilfsmittel für die vorwiegend auf Anamnese und klinischem Befund beruhende Diagnostik. Beim Befall innerer Organe kann die Diagnose gelegentlich auch durch Organbiopsate gestellt werden, falls im Biopsat Larvenanschnitte nachweisbar sind.

Größere kontrollierte Studien über eine wirksame medikamentöse Behandlung stehen nicht zur Verfügung. Die Beurteilung der Wirksamkeit von Medikamenten gegen die Larveninfektion beim Menschen ist schwierig, weil eine parasitologische Diagnose- und Therapiekontrolle nicht zur Verfügung steht. Tierexperimentell erwiesen sich Ivermectin, Thiabendazol und Diethylcarbamazin gegen *Gnathostoma* species als wirksam, in Einzelfällen konnten auch Erfolge beim Menschen belegt werden (1, 3, 17). In den bisher veröffentlichten placebokontrollierten Studien erwies sich Albendazol in einer Dosierung von zweimal 200 mg/d über 14 bis 21 Tage als wirksam (8, 9, 18). Wirkungsvoll, aber im Einzelfall nur schwer durchführbar, ist die chirurgische Entfernung der Larven. Den periodisch auftretenden Schwellungen liegt die Anwesenheit einer oder mehrerer Larven zugrunde, jedoch sind sie aufgrund ihrer Größe von weniger als 1 cm nur schwer mittels bildgebender Verfahren zu erkennen. Darüber hinaus beträgt ihre Wanderungsgeschwindigkeit bis zu 1 cm/h, so daß eine operative Entfernung nur mit einer gehörigen Portion Glück zu bewerkstelligen ist (17).

Der beschriebene Fall weist auf die Wichtigkeit der Reiseanamnese und die Berücksichtigung von hierzulande seltenen Diagnosen bei entsprechendem Tropenaufenthalt hin. An eine Gnathostomiasis sollte gedacht werden bei wiederkehrenden ödematösen Hautschwellungen mit lokalisiertem oder generalisiertem Juckreiz, Bluteosinophilie sowie entsprechender Reise- und Nahrungsanamnese.

Literatur

- 1 Anantaphruti, M. T., S. Nuamtanong, J. Waikagul: Effect of ivermectin on experimental gnathostomiasis in rabbits. *Trop. Med. Parasitol.* 43 (1992), 65–67.
- 2 Babero, B. B., J. R. Shepperson: Some helminths of racoons in Georgia. *J. Parasitol.* 44 (1958), 519.
- 3 Bennish, M. L., C. Sullivan, S. Mechelson: A point source outbreak of gnathostomiasis at a diplomatic dinner. In: Program and Abstracts of the 28th Interscience Conference on Antimicrobial Agents and Chemotherapy (American Society for Microbiology: Washington 1988), Abstract 1098.
- 4 Daengsvang, S.: Further observations on the experimental transmission of *Gnathostoma spinigerum*. *Amer. J. trop. Med. Parasitol.* 62 (1968), 88–94.
- 5 Daengsvang, S.: Contributions to natural sources and methods of transmission of *Gnathostoma spinigerum* in Thailand. *S.-East Asian J. trop. Med.* 7 (1976), 95–101.
- 6 Daengsvang, S.: Gnathostomiasis in Southeast Asia. *S.-East Asian J. trop. Med.* 12 (1981), 319–342.
- 7 Dharmkrong-At, A., S. Migasena, P. Suntharasamai, D. Bunnag, R. Priwan, S. Sirisinha: Enzymelinked immunosorbent assay for detection of antibody to *Gnathostoma* antigen in patients with intermittent cutaneous migratory swelling. *J. clin. Microbiol.* 23 (1986), 847–851.
- 8 Kraivichian, P., M. Kulkumthorn, P. Yingyourd, P. Akarabovorn, C. C. Paireepai: Albendazole for the treatment of human gnathostomiasis. *Trans. Roy. Soc. trop. Med. Hyg.* 86 (1992), 418–421.
- 9 Maleewong, W., P. Loahabhan, C. Wongkham, P. Intapan, N. Morakote, C. Khamboonruang: Effects of albendazole on *Gnatho-*

- stoma spinigerum* in mice. *J. Parasitol.* 18 (1992), 125–126.
- 10 Miyazaki, I.: On the genus *Gnathostoma* and human gnathostomiasis with special reference to Japan. *Exp. Parasitol.* 9 (1960), 338–370.
- 11 Moorhouse, D. E., M. Bhaibulaya, M. T. Jones: Suspected human gnathostomiasis in Queensland (letter). *Med. J. Aust.* 2 (1970), 250.
- 12 Nawa, Y., J. Imai, K. Ogata, K. Otsuka: The first record of a confirmed human case of *Gnathostoma doloresi* infection. *J. Parasitol.* 75 (1989), 166–169.
- 13 Nopparatana, C., P. Setasuban, W. Chaicumpa, P. Tapchaisri: Purification of *Gnathostoma spinigerum* specific antigen and immunodiagnosis of human gnathostomiasis. *Int. J. Parasitol.* 21 (1991), 677–687.
- 14 Punyagupta, S.: Gnathostomiasis abstract. *J. med. Ass. Thailand* 50 (1967), 686–695.
- 15 Punyagupta, S., T. Bunnag, P. Juttijudata: Eosinophilic meningitis in Thailand. Clinical and epidemiological characteristics of 163 patients with myeloencephalitis probably caused by *Gnathostoma spinigerum*. *J. neurol. Sci.* 96 (1990), 241–256.
- 16 Radymyos, P., S. Daengsvang: A brief report on *Gnathostoma spinigerum* specimen obtained from human cases. *S.-East Asian J. trop. Med.* 18 (1987), 215–217.
- 17 Rusnak, R. M., D. R. Lucey: Clinical gnathostomiasis. Case report and review of the English language literature. *Clin. infect. Dis.* 16 (1993), 33–50.
- 18 Suntharasamai, P., M. Rigant, S. Chittamas, V. Desakorn: Albendazole stimulates outward migration of *Gnathostoma spinigerum* to the dermis in man. *S.-East Asian J. trop. Med.* 23 (1992), 716–722.
- 19 Tapchaisri, P., C. Nipparatana, W. Chaicumpa, P. Setasuban: Specific antigen of *Gnathostoma spinigerum* for immunodiagnosis of human gnathostomiasis. *Int. J. Parasitol.* 21 (1991), 315–319.
- 20 WHO: Basic Laboratory Diagnostics in Medical Parasitology (Geneva 1991).

Dr. T. Jelinek, Prof. Dr. T. Löscher
Abteilung für Infektions- und Tropenmedizin
Medizinische Klinik Innenstadt
der Universität
Leopoldstr. 5
80802 München

Dr. M. Ziegler
Abteilung für Kinderheilkunde
Stadtkrankenhaus
Bismarckstr. 23
87700 Memmingen